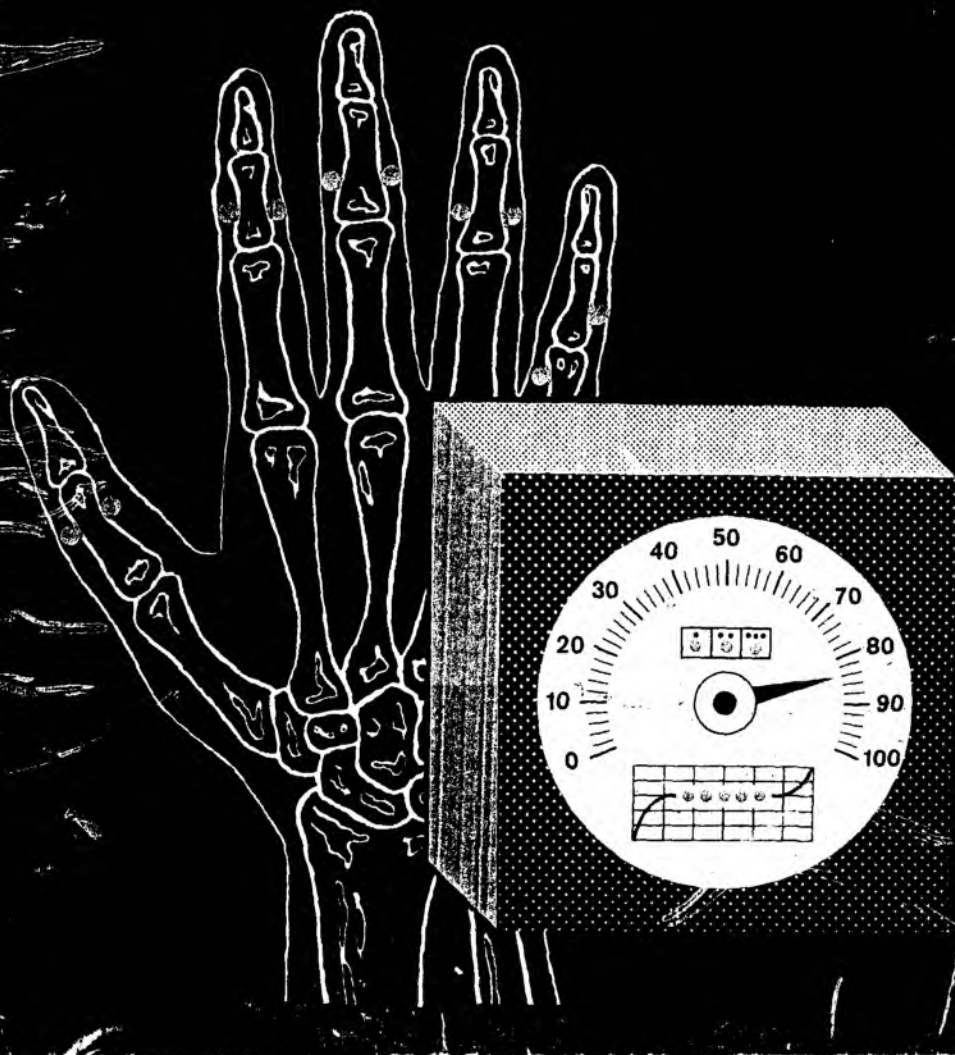


СПРАВОЧНИК РЕПРЕЗЕНТАТИВНЫХ ТОЧЕК ЭЛЕКТРО- АКУПУНКТУРЫ ПО Р.ФОЛЛЮ



Ролк Иван Станиславович — кандидат медицинских наук,

Самохин Александр Владимирович — кандидат медицинских наук,

Фурсов Сергей Евгеньевич — кандидат медицинских наук, дипломированный специалист по методу Фолля, получивший образование в ФРГ.

Рецензент: профессор **А. И. Нечушкин**

Данное издание посвящено методу Фолля, мало известному в нашей стране, но получившему достаточно широкое распространение и признание за рубежом, особенно в ФРГ. Впервые в отечественной медицинской литературе описаны топография и диагностическое значение основных точек, используемых для тестирования медикаментов и в электроакупунктуре по Фоллю. Кроме точек, расположенных на классических меридианах, представлены точки, относящиеся к меридианам, открытым Р. Фоллем. Изложены принципы электролечения на основе использования импульсивных токов низкой частоты.

Справочник предназначен для рефлексотерапевтов, гомеопатов, а также для врачей другого профиля, владеющих методом или изучающих основы измерения точек и тестирования медикаментов по Фоллю.

СПИСОК СОКРАЩЕНИЙ

ЭАФ	— электроакупунктура по Фоллю
ТУ	— точка указания
ТИ	— точка измерения
КТИ	— контрольная точка измерения
ОСТИ	— общая, суммарная точка измерения
ЧСТИ	— частная, суммарная точка измерения
ЛТ	— локализация точки
ТП	— тыльная поверхность кисти
ЛП	— ладонная поверхность
ВЧ	— верхняя челюсть
НЧ	— нижняя челюсть
ЭПД	— эпителиальная и паренхиматозная дегенерация
СТД	— соединительно-тканная дегенерация
ЖД	— жировая дегенерация
ЛМ	— лимфатический меридиан
МЛ	— меридиан легких
МТолК	— меридиан толстой кишки
МНД	— меридиан нервной дегенерации
МКО	— меридиан кровообращения
МА	— меридиан аллергии
МЭПД	— меридиан эпителиальной и паренхиматозной дегенерации
МЭС	— меридиан эндокринной системы
МС	— меридиан сердца
МТонК	— меридиан тонкой кишки
МСПЖ	— меридиан селезенки — поджелудочной железы
МПеч	— меридиан печени
МСД	— меридиан суставной дегенерации
МЖ	— меридиан желудка
МСТД	— меридиан соединительно-тканной дегенерации
МК	— меридиан кожи
МЖД	— меридиан жировой дегенерации
МЖП	— меридиан желчного пузыря
МПоч	— меридиан почек
ММП	— меридиан мочевого пузыря
ПСМ	— передне-срединный меридиан
ЗСМ	— задне-срединный меридиан

ВВЕДЕНИЕ

В последние годы электропунктура привлекает все более внимание врачей различных специальностей, активно расширяя арсенал диагностических и лечебных приемов. Базируясь на принципах традиционной восточной медицины, основанных на системном подходе к организму человека, как цельной биофункциональной системе, неразрывно связанной с окружающей средой, электропунктура позволяет по-новому взглянуть на причинно-следственные взаимосвязи многих заболеваний.

Из большого числа методов электропунктурной диагностики и терапии особого внимания заслуживает метод, разработанный западно-германским врачом доктором медицины Р. Фоллем.

Более чем 30-летний опыт использования электропунктурной диагностики в клинической практике и его непрерывное совершенствование позволили Р. Фоллю не только существенно расширить представления о системе акупунктурных меридианов, но и систематизировать точки акупунктуры по их анатомо-информационным взаимосвязям с внутренними органами и системами, т. е. «перевести» их символическое китайское название в терминологию клинического языка и мышления, понятную ортодоксальным медикам.

Созданное в 1956 году в Плохингене Международное общество электроакупунктуры по Фоллю в настоящее время объединяет более десяти тысяч врачей различных специальностей из 33 стран мира. Со времени организации общества его членами издано более 200 оригинальных работ и 120 монографий, в которых изложены основы ЭАФ.

В своей медицинской практике врачи, применяющие ЭАФ, используют в основном приборы типа «Дерматрон».

ЭАФ позволяет:

- проводить топическую и этиологическую диагностику, тестирование количества и качества медикаментозных средств;
- выявлять латентно протекающие очаги инфекции, не верифицирующиеся традиционными методами исследований;

— осуществлять экспресс-контроль за эффективностью проведения фармакологической и другой терапии;

— проводить электролечение низкочастотными импульсами постоянного или переменного тока.

Основой для проведения топической диагностики служат, описанные Р. Фоллем, 850 точек, часть из которых являются классическими, а другие (около 300) установлены автором и его коллегами.

Следует отметить, что в большинстве случаев для проведения диагностики используется ограниченное число точек, локализованных главным образом на пальцах рук и ног.

Характеризуя принципы измерения в ЭАФ, необходимо отметить, что точки акупунктуры, отражающие функциональное состояние органа (системы), имеют собственный электрический потенциал, т. е. находятся в определенном энергетическом состоянии. При воздействии измерительным током величиной 5,5—11,25 мкА и максимальным напряжением 1,2 В на точку акупунктуры в случае нормального ее энергетического состояния возникает равновесие между подаваемым и противостоящим возбуждением. Результатом этого воздействия является устойчивое положение стрелки прибора в диапазоне «50—65» единиц квадратичной шкалы, имеющей 100 условных делений (табл. 1).

Таблица 1.

Трактовка Р. Фоллем показаний стрелки измерительного прибора

Показания стрелки	Состояние органа
90—100	Тотальное воспаление
80—90	Частичное воспаление
65—80	Токсическая нагрузка
50—65	Норма
40—50	Начальные признаки, дегенерации (гепатоз, нефроз, миокардиосклероз, фиброз, цирроз, артроз)
30—40	Прогрессирующая дегенерация
20—30	Выраженная дегенерация
менее 20	Конечная стадия дегенерации (атрофия, анкилоз, бластоз, канцероматоз)

В ЭАФ проводится как синтетическая, так и аналитическая диагностика.

Синтетическая диагностика проводится посредством измерения ОСТИ, ЧСТИ, ТУ, КТИ. Если на этих точках имеются

патологические значения, то необходимо дифференцированно измерить ТИ отдельных участков органов или тканевых систем, т. е. провести аналитическую диагностику.

ОСТИ дают информацию о соответствующей тканевой системе и позволяют определить степень ее нарушения.

ЧСТИ дают информацию о состоянии соседних органов, имеющих общую функцию.

ТУ представлены некоторыми точками, лежащими на лимфатическом меридиане и относящимися к структурам, имеющим постоянный контакт с патогенными факторами окружающей среды. Наличие на этих точках патологических значений может указывать на задержку оттока лимфы от соответствующего органа.

Для проведения этиологической диагностики используются нозоды и органопрепараты. Это гомеопатические по своей количественной характеристике средства. В качестве исходного материала для их приготовления служат «продукты» болезней (кровь, лимфа, секрет желез, ткани пораженных органов и др.).

Нозоды давно используются в гомеопатической практике. Так, впервые о них сообщил в 1831 году К. Геринг. До 1950 года врачи-гомеопаты использовали в своей практике около 30 наименований препаратов данной группы, а сегодня их насчитывается более 300. Расширился и перечень исходных материалов для их приготовления — от бактериальных и вирусных возбудителей заболеваний до химических агентов внешней среды.

При проведении тестирования медикаментов основное внимание обращается на показания стрелки измерительного прибора при помещении в резонатор того или иного препарата (см. рис. 1). В случае, если после этого из диапазона патологических показаний стрелка переходит в диапазон нормы, то выбор средства проведен правильно и в зависимости от того, какой используется нозод, можно судить об этиологии патологического процесса.

В отличие от многих аппаратов, используемых для электропунктурной рефлексотерапии, в аппаратах ЭАФ применяются главным образом импульсные электромагнитные колебания в диапазоне 0,1 — 10,0 Гц. Частота колебаний может быть фиксированной или изменяться в зависимости от характера патологического процесса. Существенная особенность колебаний состоит в том, что имеет место чередование импульсов и пауз, которые по своей длительности всегда больше импульсов. Сам импульс состоит из колебаний 60 — 100 МГц, определяющих основное результирующее колебание, служащее мерилем частоты используемых импульсов. Пауза между низкочастотными импульсами по своей продолжительности ниже порога чувствительности тканей и варьирует в диапазоне от 0,1 до 0,001 с.

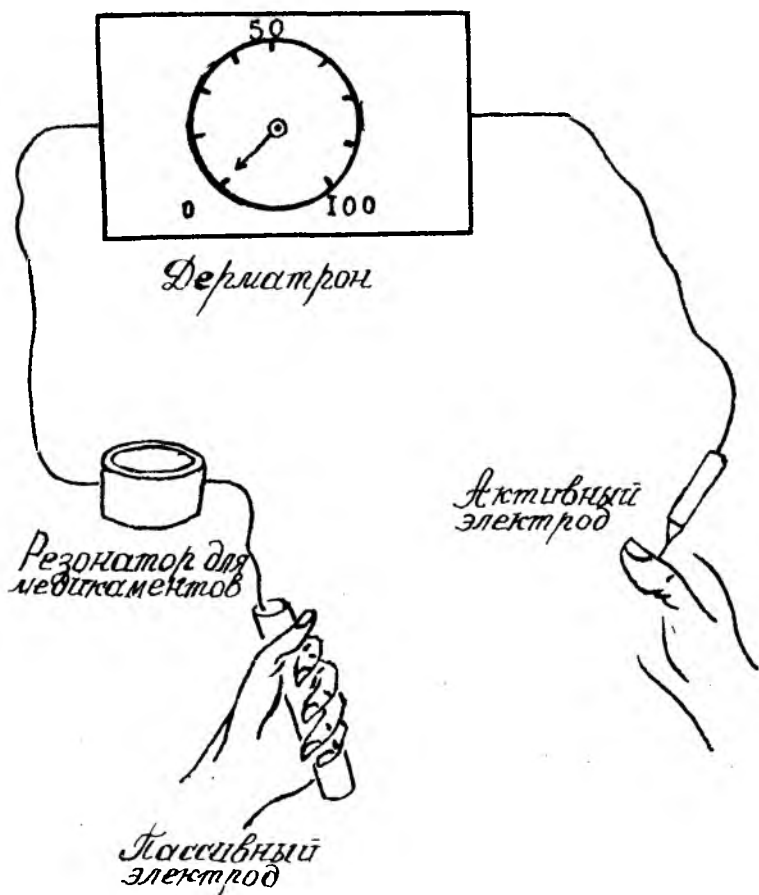


Рис. 1. Схема измерения точек и тестирования медикаментов в ЭАФ.

Амплитуда тока зависит от порога индивидуальной болевой чувствительности пациента, что обеспечивает в первую очередь полную релаксацию напряженных мышц, а в последующем — дренаж пораженных тканей. При значительном превышении болевого порога может наступить эффект в виде усиления мышечного спазма вплоть до явлений тетании.

Выраженность терапевтического эффекта еще зависит и от количества энергии, посылаемой организму импульсными воздействиями. Поскольку величина энергии определяется площадью, образованной кривой импульса и нулевой линией, то количество энергии у однополярных колебаний тока будет больше, чем при импульсах переменного тока. Отсюда в случае использования однополярных колебаний с целью подачи одного и того же количества энергии на точку требуется ток меньшей интенсивности, чем при использовании импульсов переменного тока.

Согласно данным Р. Фолля, ткани с острым воспалением наиболее чувствительны к уровню интенсивности электрического тока, чем здоровые или с дегенеративными изменениями. Поэтому обычно лечение острых воспалительных процессов следует начинать с воздействия однополярных импульсов низкой интенсивности, а хронических дегенеративных изменений — импульсов разной полярности и высоким уровнем интенсивности.

В зависимости от стадии заболевания, а также от характера патологического очага необходимо осуществлять правильный выбор количества точек для электропунктуры, интенсивности тока, полярности и частоты (табл. 2).

Т а б л и ц а 2.

Использование низкочастотных импульсных электромагнитных колебаний при отдельных заболеваниях, синдромах и симптомах

Частота в Гц	Нозология
0,1	Аутоиммунные заболевания
0,7	Дерматит, экзема
0,9	Астма, токсические и инфекционные поражения печени (гепатит, цирроз)
1,2	Аутоиммунные заболевания, тахикардия, слабость в коленных суставах
1,6	Артриты-артрозы
1,7	Акне, абсцесс, гипотония, дерматит, парадонтоз, симпатикотоническое действие, фурункулез, экзема
2,2	Усталость, экзема пустулезная

- 2,5 Бессонница, вегетативные нарушения, гиперменоррея, головная боль, связанная с заболеваниями придаточных пазух носа, кровоизлияния, контузии, травмы, меноррагии, миома матки, отеки, токсические и инфекционные поражения печени (гепатит, цирроз), парадонтоз, синусит, ушибы, экземы
- 2,6 Вирильный синдром, геморрой, головные боли при заболеваниях печени, кишечная головная боль, дерматит, импотенция
- 2,65 периостит
- 2,8 Нефрит, нефролитиаз, почечная колика, нефросклероз, уремия
- 2,9 Насморк (синусит)
- 3,3 Артериосклероз, гипертония, отосклероз, токсические и инфекционные поражения печени (гепатит, цирроз), нефролитиаз, почечная колика, нефросклероз, уремия, нефрит, фурункулез, гипертония на фоне атеросклероза
- 3,5 Желчнокаменная болезнь, меланхолия, нефролитиаз, почечная колика, страх, слабость в коленных суставах, меноалгии
- 3,6 Воспаление, плаксивость, раздражительность
- 3,8 Аллергия, геморрой, спазмы различного генеза
- 3,9 Невралгии, расстройства сна (фазы засыпания)
- 4,0 Адипозогенитальная дистрофия (ожирение), астма, вирильный синдром, геморрой, гиперменоррея, эндокринная головная боль, головокружения, гипофизарные нарушения, импотенция, климакс, меноррагии, панкреагенные нарушения
- 4,6 Нарушения функции паращитовидной железы (воздействие на баланс кальция)
- 4,9 Вирильный синдром, менингеальная головная боль, климакс, меноррагии, ожирение, ригидность затылочных мышц, фурункулез, меноалгии
- 5,5 Сосудистая головная боль
- 5,8 Отогенная головная боль, депрессии
- 5,9 Паралич спастический
- 6,0 Гипертония, головные боли при заболеваниях печени, ригидность затылочных мышц, экстрасистолия, систолическая гипертония
- 6,0—10,0 Повышение работоспособности
- 6,3 Головные боли, обусловленные церебральными ангиоспазмами, неврозы, раздражительность, сотрясение головного мозга
- 6,8 Миалгии, судороги мышц
- 7,5 Невралгия тройничного нерва
- 7,7 Паралич спастический
- 8,0 Головная боль кишечного генеза, астма, бронхит аллергический
- 8,1 Мочегонное действие (диуретическое, баланс калия и натрия), нефролитиаз, почечная колика, нефрит, цистит (пиелостит)
- 8,5 Бессонница
- 8,6 Переломы, язва 12-перстной кишки
- 9,2 Гипертония, отогенная головная боль, нефрогенная головная боль, подагра, диастолическая гипертония, дерматит, паралич спастический, нефросклероз, уремия, фурункулез, экзема (в т. ч. в сочетании с нарушением функции почек), сахарный диабет
- 9,3 Паралич вялый
- 9,4 Аднексит, бронхит обструктивный, гипертония, гастрогенная головная боль, кишечная головная боль, урогенитальная головная боль, эндокринная головная боль, дуоденит, импотенция, отеки, парестезии, парезы, простатит, стенокардия, узловатая эритема, фурункулез, цистит (пиелостит), экзема, эндо-, параметрит, язва желудка, язвенно-некротический эндомиокардит
- 9,45 Ангина фолликулярная, астма, тонзиллогенные головные боли, нарушения функции надпочечников, спастическая гипертония

9,5	Гипертония, головная боль сосудистого генеза, климактерическая гипертония, ларингит, парадонтоз
9,6	Артриты-артрозы, болезнь Бехтерева, депрессии, повреждения позвоночника, остеохондроз
9,7	Артриты-артрозы, ишиас, подагра, нефросклероз, уремия, ревматизм
9,8	Токсические и инфекционные поражения печени (гепатит, цирроз)

На основе многолетней исследовательской и практической деятельности Р. Фоллем была разработана схема, отражающая энергетические связи, существующие в организме (табл. 3). Знание и понимание причинно-функциональных взаимосвязей в организме является основополагающим в методе Фолля.

В справочнике описано функциональное значение и топография репрезентативных точек, используемых в ЭАФ. Наряду с названием точек, отражающих функциональное состояние ряда нервных структур, приведены наиболее значимые для ЭАФ их анатомо-физиологические особенности. В скобках рядом с порядковым номером точки соответствующего меридиана представлена нумерация, принятая в традиционной восточной медицине и в ЭАФ, включая нумерацию точек, расположенных на меридианах, открытых Р. Фоллем (лимфатическом, нервной дегенерации, аллергии или сосудистой дегенерации, паренхиматозной и эпителиальной дегенерации, суставной дегенерации, соединительно-тканной дегенерации, кожи, жировой дегенерации).

Т а б л и ц а 3.

Энергетические взаимосвязи органов и систем целостного организма

ЗУБЫ:				
1—2	3	ВЧ 4—5 НЧ 6—7	ВЧ 6—7 НЧ 4—5	8
МИНДАЛИНЫ:				
глоточная	небная	трубная, гортанная	небная, язычная, подъязычная	язычная
ПАЗУХИ:				
лобная	клино- видная	решетчатый лабиринт, полость носа	верхне- челюстная	

Почки, мочевой пузырь, прямая кишка, половые органы; передняя часть глаза	Печень, желчный пузырь; задняя часть глаза (сетчатка, стекл. тело, роговица и др.)	Легкие, бронхи, толстая кишка, аппендикс, артерии и вены	Желудок, пищевод, селезенка, поджелудочная железа, лимфатическая система, блуждающий нерв	Сердце, тонкая кишка, ухо, нервная система
ЖЕЛЕЗЫ: надпочечники, эпифиз	половые, гипофиз	вилочковая, нейрогипофиз	грудные, щитовидная, паращитовидные	аденогипофиз
СУСТАВЫ: грудно-ключичный, коленный (задне-медиальная часть), межпозвоночные диски; копчик	коленный (задне-латеральная часть), тазобедренный, голеностопный (задне-верхняя часть)	плечевой, плечелучевой, лучезапястный, большого пальца ноги	височно-нижнечелюстной, коленный (передняя часть)	плечевой, плечелоктевой, крестцово-вопозвоночный
ПОЗВОНКИ: L2, L3, S3, S4, S5, Co	D9, D10	C5, C6, C7, D3, D4, L4, L5,	D11, D12, L1	C7, D1, D5, D6, S1, S2

Лимфатический меридиан

- 1(1). ТИ: небная миндалина, включая пери-и ретротонзиллярное пространство с оттоком лимфы в глубокие лимфатические узлы шеи.
 ЛТ: над бугристой дистальной (ногтевой) фаланги I пальца кисти на тыльно-лучевой поверхности.
- 2(1.1). ТУ: отток лимфы от уха.
 ЛТ: под основанием дистальной фаланги I пальца кисти на тыльно-лучевой поверхности.
- 3(1.2). КТИ: лимфопитэлиальное глоточное кольцо Пирогова-Вальдейера, включающее небную, трубную, глоточную, язычную миндалины.
 ЛТ: на тыльно-лучевой поверхности проксимальной фаланги I пальца кисти в месте перехода головки в тело.
- 4(1а). ТИ: трубная миндалина и боковой валик глотки.
 ЛТ: на тыльно-лучевой поверхности проксимальной фаланги I пальца кисти в месте перехода тела в основание.
- 5(2). ТУ: отток лимфы от верхней и нижней челюсти.
 ЛТ: на тыльно-лучевой поверхности I пястной кости в месте перехода головки в тело.
- 6(2а). ТУ: отток лимфы от глаза.
 ЛТ: на середине тыльно-лучевой поверхности тела I пястной кости.
- 7(3). ТУ: отток лимфы от слизистых носовой полости и придаточных пазух носа.
 ЛТ: на тыльно-лучевой поверхности I пястной кости в месте перехода тела в основание.
- 8(4). ОСТИ: лимфатические сосуды и узлы легких.
 ЛТ: на передней поверхности лучезапястного сустава между шиловидным отростком лучевой кости и ладьевидной кости.
- 9(4а). ТИ: лимфатические сосуды пищевода.
 ЛТ: у конца шиловидного отростка лучевой кости.
- 10(4в). ТИ: отток лимфы от гортани и гортаноглотки.
 ЛТ: у латерального края шиловидного отростка лучевой кости.
- 11(5). ТИ: отток лимфы от сердца.
 ЛТ: на латеральной поверхности лучевой кости у места перехода тела в шиловидный отросток.
- 12(6). ТИ: отток лимфы от руки.
 ЛТ: на задней поверхности лучевой кости в сухожиль-

- ном углу, образованном сухожилиями плечелучевой мышцы и длинной мышцы, отводящей большой палец кисти.
- 13(7). ТИ: межкишечный лимфатический ствол.
ЛТ: на задней поверхности лучевой кости в мышечном углу, образованном плечелучевой мышцей и длинным лучевым разгибателем запястья.
- 14(8). ТИ: отток лимфы от брыжейки ободочной и сигмовидной кишки — слева.
ТИ: верхние брыжеечные лимфатические узлы, отток лимфы от тощей и подвздошной кишки — справа.
ЛТ: у радиального конца локтевой борозды предплечья.
- 15(9). ТИ: отток лимфы от щитовидной железы и тимуса.
ЛТ: в латеральной борозде двуглавой мышцы плеча в месте соединения короткой и длинной головок этой мышцы.
- 16(10). ТИ: поясничный лимфатический ствол и лимфатические узлы поясничной области.
ЛТ: на плече, в подмышечном углу, образованном малой грудной мышцей и медиальной головкой двуглавой мышцы плеча.
- 17(11). ОСТИ: лимфатическая система.
ЛТ: в нижнем углу лопаточно-ключичного треугольника (в месте пересечения нижнего брюшка лопаточно-подъязычной мышцы и ключицы).
- 18(12). ОСТИ: лимфатические узлы эпигастральной области.
ЛТ: в медиальном углу лопаточно-трапециевидного треугольника (в месте пересечения трапециевидной мышцы и нижнего брюшка лопаточно-подъязычной мышцы).
- 19(13). ТИ: отток лимфы от печени, желчных путей и желчного пузыря.
ЛТ: на 4 цуны латеральнее остистого отростка 6-го шейного позвонка.
- 20(14). ОСТИ: лимфатические узлы и сосуды таза.
ЛТ: на 3 цуны латеральнее остистого отростка 1-го грудного позвонка.
См. рис. 2, 3.

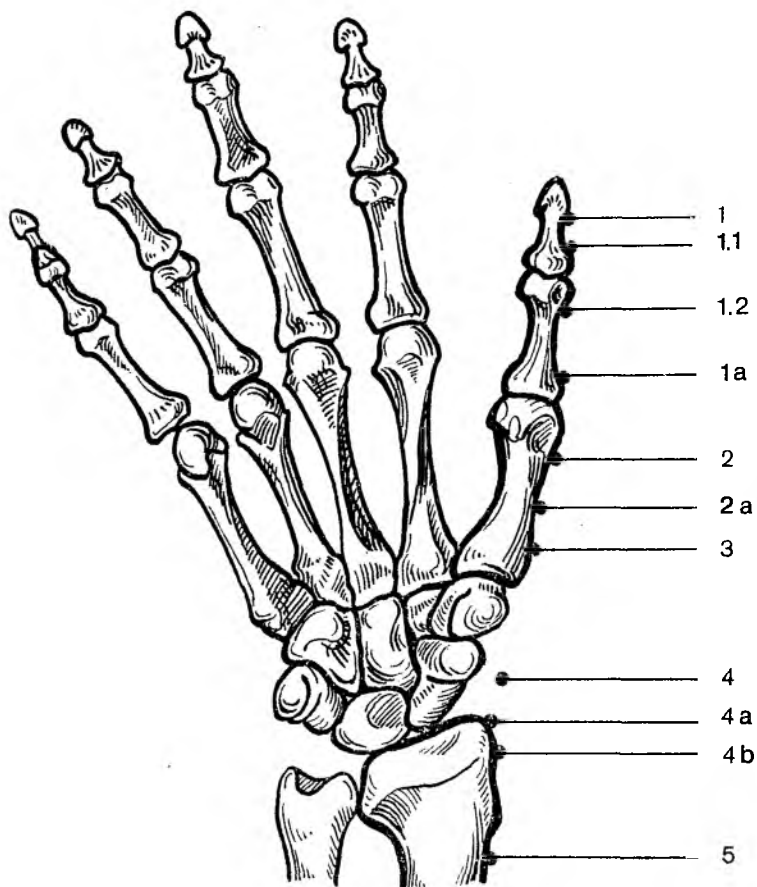


Рис. 2. Локализация точек лимфатического меридиана на ладонно-лучевой поверхности большого пальца правой кисти.

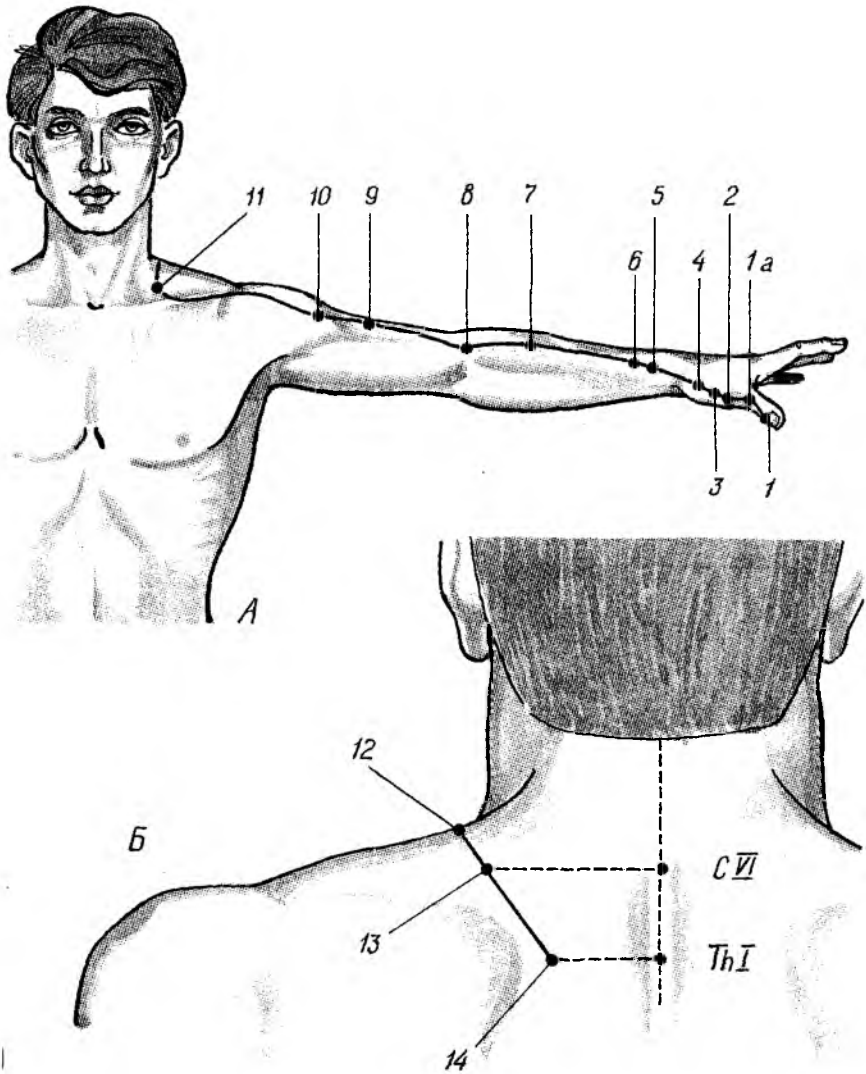


Рис. 3. Локализация точек лимфатического меридиана на руке (а) и на спине (б).

Меридиан легких

- 1(11). ТИ: альвеолы и паренхима легких.
ЛТ: над бугристостью дистальной фаланги 1 пальца кисти на тыльно-локтевой поверхности.
- 2(10д). ТИ: медиастинальное (средостенное) сплетение.
Образовано ветвями 2—4 шейных и 1—7 грудных узлов симпатического ствола и блуждающего нерва. Принимает участие в образовании органных вегетативных сплетений грудной полости: сердечного, пищеводного, бронхиального, легочного, грудного аортального, диафрагмального.
Иннервирует органы средостения:
ЛТ: У основания дистальной фаланги 1 пальца кисти на тыльно-локтевой поверхности.
- 3(10с). КТИ: легкие.
ЛТ: на тыльно-локтевой поверхности проксимальной фаланги 1 пальца кисти на месте перехода головки в тело.
- 4(10в). ТИ: бронхиолы.
ЛТ: на тыльно-локтевой поверхности проксимальной фаланги 1 пальца кисти в месте перехода тела в основание.
- 5(10а). ТИ: висцеральный листок плевры.
ЛТ: на ладонно-лучевой поверхности 1 пястной кости в месте перехода головки в тело.
- 6(10). ТИ: бронхи.
ЛТ: на ладонно-лучевой поверхности 1 пястной кости в месте перехода тела в основание.
- 7(9а). ТИ: бронхиальное сплетение.
Образовано ветвями блуждающего нерва и симпатическими нервами, отходящими от 2—3 шейных и 1—6 грудных узлов симпатического ствола и их соединительных ветвей. Непосредственно связано с передним и задним легочными и сердечным сплетениями. Иннервирует бронхи, легкие, перикард, сердце, дугу аорты.
ЛТ: на передней поверхности межзапястного сустава между ладьевидной и трапециевидной костями кисти.
- 8(9). ТИ: трахея.
ЛТ: на передней поверхности лучезапястного сустава между ладьевидной и лучевой костями.
- 9(8в). ТИ: гортань.

- ЛТ: на медиальной поверхности лучевой кости в месте перехода шиловидного отростка в тело.
- 10(8a). ТИ: гортаноглотка.
ЛТ: на 0,5 см выше Т.И. гортани.
- 11(8). ТИ: вены верхних конечностей до запястья.
ЛТ: на 1 см выше Т.И. гортани.
- 12(7). ТИ: артерии верхних конечностей до запястья.
ЛТ: над шиловидным отростком лучевой кости, на 1,5 см выше лучезапястной складки.
См. рис. 4, 5.

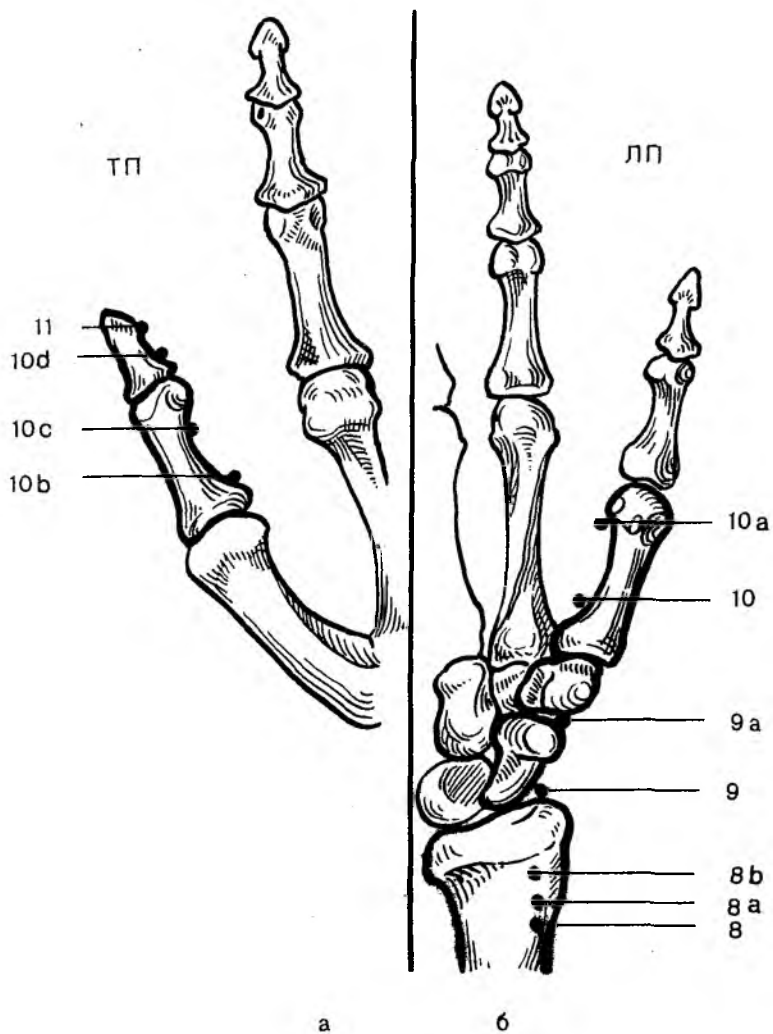


Рис. 4. Локализация точек меридиана легких на тыльно-локтевой поверхности большого пальца (а) и на ладонной поверхности правой кисти (б).

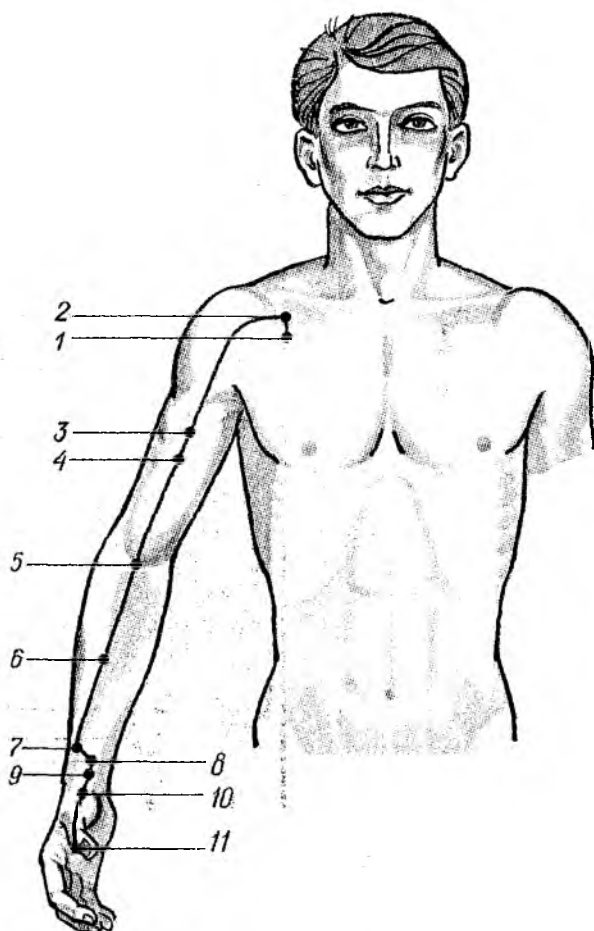


Рис. 5. Локализация точек меридиана легких на руке и груди.

Меридиан толстой кишки

- 1(1). ТИ: правая часть поперечной ободочной кишки — справа.
ТИ: сигмовидная кишка — слева.
ЛТ: над бугристостью дистальной фаланги 2 пальца кисти на тыльно-лучевой поверхности.
- 2(1.1). ТИ: лимфатические сосуды поперечно-ободочной, восходящей части поперечной ободочной и правого изгиба толстой кишки — справа.
ТИ: лимфатические сосуды левой части поперечной ободочной кишки, нисходящего отдела толстой и сигмовидной кишки — слева.
ЛТ: у основания дистальной фаланги 2 пальца кисти на тыльно-лучевой поверхности.
- 3(1a). ТИ: верхнее подчревное сплетение — справа.
Образовано ветвями брюшного аортального, нижнего брыжеечного сплетений и нижних поясничных узлов симпатического ствола. Иннервирует органы таза, подвздошные сосуды, продолжается в нижнее подчревное и подвздошное сплетения.
ТИ: подвздошное сплетение — слева.
Образовано ветвями верхнего подчревного сплетения. Иннервирует общую и наружную подвздошные артерии, ее ветви, сопровождающие вены, переходит в бедренное сплетение.
ЛТ: на тыльно-лучевой поверхности средней фаланги 2 пальца кисти в месте перехода головки в тело.
- 4(1в). КТИ: толстая кишка.
ЛТ: на тыльно-лучевой поверхности средней фаланги 2 пальца кисти в месте перехода тела в основание.
- 5(1с). ТИ: брюшина толстой кишки.
ЛТ: на тыльно-лучевой поверхности средней фаланги 2 пальца кисти в месте перехода тела в основание.
- 6(2). ТИ: изгиб толстой кишки — справа.
ТИ: нисходящая часть толстой кишки — слева.
ЛТ: на тыльно-лучевой поверхности проксимальной фаланги 2 пальца кисти в месте перехода тела в основание.
- 7(3). ТИ: восходящая часть толстой кишки — справа.
ТИ: изгиб толстой кишки — слева.
ЛТ: на тыльно-лучевой поверхности 2 пястной кости в месте перехода головки в тело.

- 8(3a). ТИ: большой сальник.
ЛТ: на середине тыльно-лучевой поверхности 2 пястной кости.
- 9(4). ТИ: слепая кишка --- справа.
ТИ: левая часть поперечной ободочной кишки --- слева.
ЛТ: на тыльно-лучевой поверхности 2 пястной кости в месте перехода тела в основание.
- 10(4a). ТИ: аппендикс с илиоцекальными лимфатическими узлами --- справа.
ТИ: ободочные лимфатические узлы --- слева.
ЛТ: на тыльно-лучевой поверхности кисти в месте соприкосновения суставных поверхностей кости-трапеции и ладьевидной кости.
- 11(5). ТИ: проксимальная часть лучезапястного сустава, радиальный участок.
ЛТ: на тыльной стороне лучевой кости между сухожилиями короткого и длинного разгибателя большого пальца.
- 12(11). ТИ: локтевой сустав.
ЛТ: в углу наружной кожной складки локтевого сустава, образующейся при сгибании предплечья.
- 13(15). ТИ: плечевой сустав.
ЛТ: над плечевым суставом, между акромиальным отростком лопатки и большим бугорком плечевой кости (соответствует впадине, образующейся при поднятии руки вверх).
- 14(17). ТИ: гортанная миндалина.
ЛТ: на уровне нижнего края щитовидного хряща (адамова яблока), у заднего грудино-ключично-сосцевидной мышцы.
- 15(18). ТИ: трубная миндалина.
ЛТ: в центре раздвоения грудино-ключично-сосцевидной мышцы, на уровне верхнего края щитовидного хряща.
- 16(19). ТИ: латеральная часть полости носа.
ЛТ: расположена книзу и медиальнее ТИ клеток решетчатого лабиринта на 0,5 см.
- 17(20). ТИ: клетки решетчатого лабиринта.
ЛТ: у верхнего конца боковой бороздки крыла носа, во впадине на краю грушевидного отверстия.
См. рис. 6, 7.

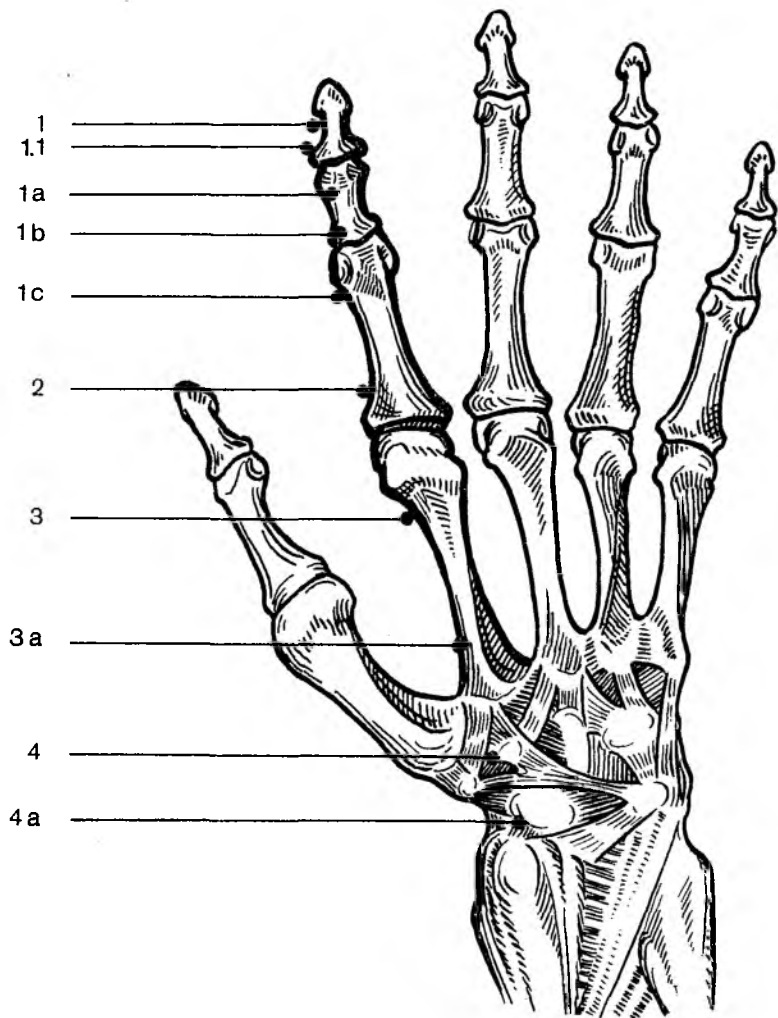


Рис. 6. Локализация гочек меридиана толстой кишки на тыльно-лучевой поверхности 2 пальца правой кисти.

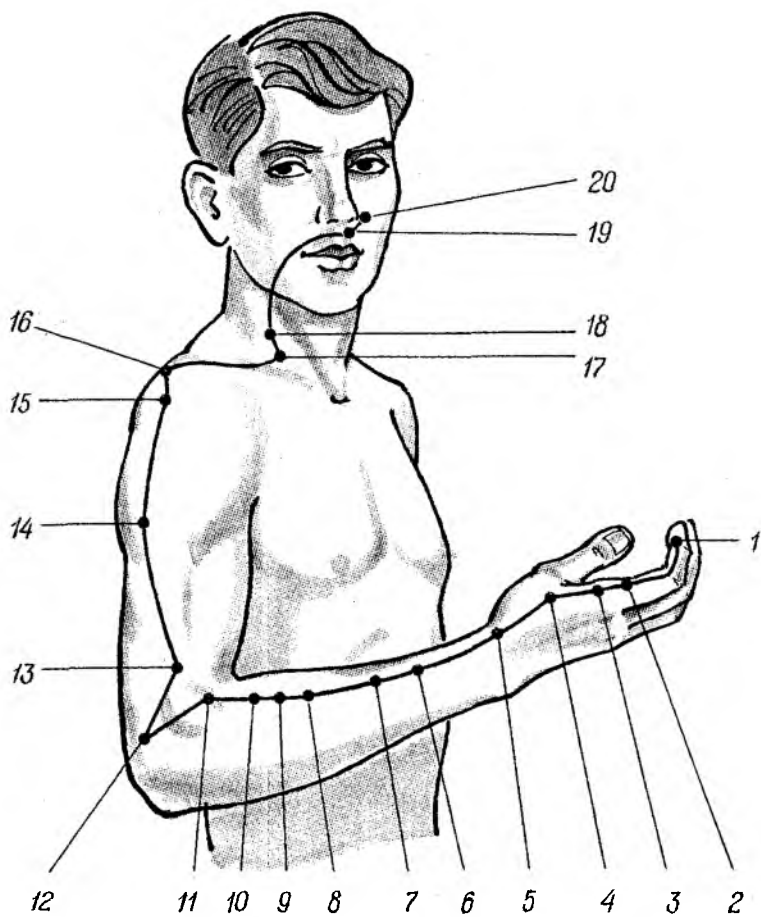


Рис. 7. Локализация точек меридиана толстой кишки на руке, шее и лице.

Меридиан нервной дегенерации

- 1(1). ТИ: поясничный и крестцовый отделы спинного мозга.
 ЛТ: над бугристостью дистальной фаланги 2 пальца кисти на тыльно-локтевой поверхности.
- 2(1a). ОСТИ: вегетативная нервная система.
 ЛТ: на тыльно-локтевой поверхности средней фаланги 2 пальца кисти в месте перехода головки в тело.
- 3(1в). КТИ: периферическая и центральная нервная система.
 ЛТ: на тыльно-локтевой поверхности средней фаланги 2 пальца в месте перехода тела в основание.
- 4(1с). ТИ: оболочки спинного и головного мозга.
 ЛТ: на тыльно-локтевой поверхности проксимальной фаланги 2 пальца кисти в месте перехода головки в тело.
- 5(2). ТИ: шейный и грудной отделы спинного мозга
 ЛТ: на тыльно-локтевой поверхности проксимальной фаланги 2 пальца кисти в месте перехода тела в основание.
- 6(3). ТИ: ствол головного мозга и большой мозг.
 ЛТ: на тыльно-локтевой поверхности 2 пястной кости в месте перехода головки в тело.
- 7(3а). КТИ: парасимпатические ганглии головы. К ним относятся ганглии: ресничный, иннервирующий оболочки глазного яблока, радужку, ресничную мышцу, мышцы сужающие и расширяющие зрачок, крылонебный — слезную железу, все железы носа и ротовой полости, ушной — околоушную слюнную железу, поднижечелюстной — поднижечелюстную и подъязычную слюнные железы.
 ЛТ: на середине тыльно-локтевой поверхности тела 2 пястной кости.
- 8(4). КТИ: черепно-мозговые нервы.
 ЛТ: на тыльно-локтевой поверхности 2 пястной кости в месте перехода тела в основание.
 См. рис. 8.

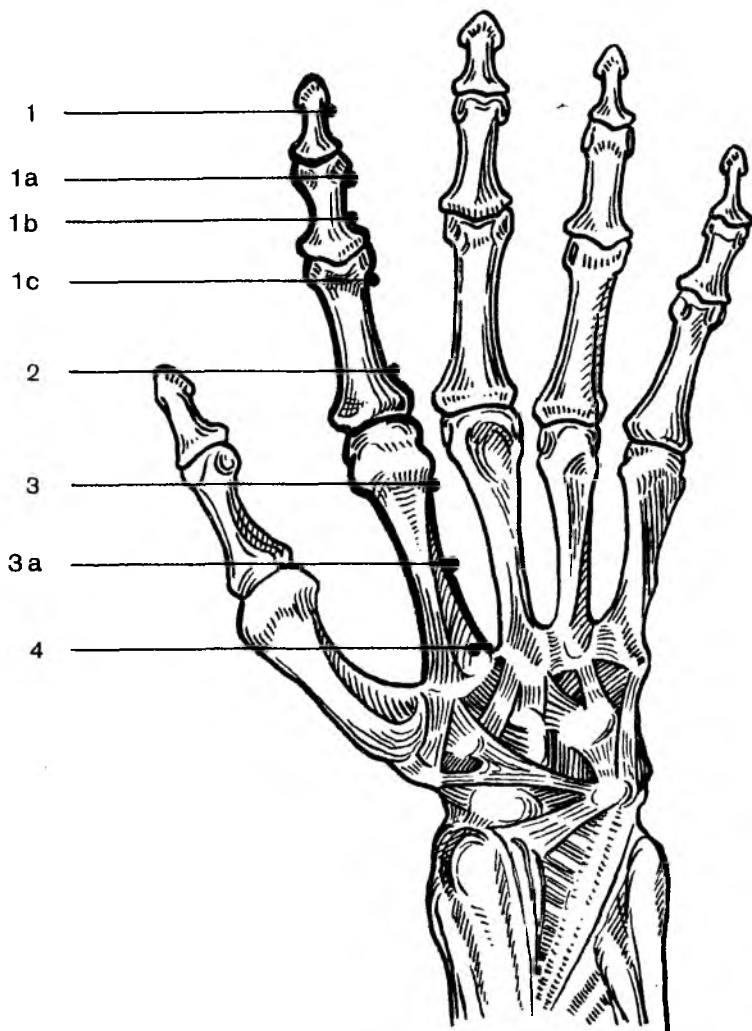


Рис. 8. Локализация точек меридиана нервной дегенерации на тыльно-локтевой поверхности 2 пальца кисти и на тыльной поверхности правой кисти.

Меридиан кровообращения

- 1(9). ОСТИ: артерии.
ЛТ: над бугристостью дистальной фаланги 3 пальца кисти на тыльно-лучевой поверхности.
- 2(8f). ТИ: лимфатические узлы кровеносных сосудов.
ЛТ: у основания дистальной фаланги 3 пальца кисти на тыльно-лучевой поверхности.
- 3(8e). ТИ: сердечный ганглий и нервное сплетение дуги аорты — справа. Образованы ветвями 2—3 шейных и 1—5 грудных узлов симпатического ствола и блуждающего нерва. Иннервирует дугу аорты, грудной отдел аорты, сердце, переходит в сплетение грудного отдела аорты.
ТИ: нервное сплетение грудного отдела аорты — слева. Образовано ветвями 2—3 шейных и 2—7 грудных узлов симпатического ствола и сердечного сплетения. Иннервирует стенку грудной аорты. Принимает участие в образовании органных вегетативных сплетений грудной полости. Ниже диафрагмы переходит в сплетение брюшного отдела аорты.
ЛТ: на тыльно-лучевой поверхности средней фаланги 3 пальца кисти в месте перехода головки в тело.
- 4(8d). КТИ: кровообращение.
ЛТ: на тыльно-лучевой поверхности средней фаланги 3 пальца кисти в месте перехода тела в основание.
- 5(8c). ТИ: нервное сплетение брюшного отдела аорты. Образовано ветвями чревного сплетения, сплетения грудного отдела аорты и поясничных узлов симпатического ствола. Иннервирует брюшную аорту, принимает участие в образовании органных вегетативных сплетений полости живота.
ЛТ: на тыльно-лучевой поверхности проксимальной фаланги 3 пальца кисти в месте перехода головки в тело.
- 6(8v). ТИ: начальная часть грудного лимфатического протока.
ЛТ: на тыльно-лучевой поверхности проксимальной фаланги 3 пальца кисти в месте перехода тела в основание.
- 7(8a). ТИ: грудной лимфатический проток.
ЛТ: на ладонно-лучевой поверхности 3 пястной кости в месте перехода головки в тело.

- 8(8). ОСТИ: вены.
ЛТ: на ладонно-лучевой поверхности 3 пястной кости в месте перехода тела в основание.
- 9(7в). ОСТИ: лимфатическая система.
ЛТ: на ладонной поверхности 3 запястно-пястного сустава у его лучевого края.
- 10(7а). ТИ: коронарное сплетение.
Образовано ветвями сердечного нервного сплетения, сплетения дуги аорты и грудного отдела аорты и блуждающего нерва. Иннервирует коронарные сосуды.
ЛТ: на ладонной поверхности межзапястного сустава, образованного головчатой и полулунной костями ближе к лучевому краю.
- 11(7). ТИ: венечные артерии сердца.
ЛТ: на передней поверхности лучезапястного сустава и середине границы соприкосновения суставных поверхностей лучевой и полулунной костей.
- 12(3). ТИ: локтевой сустав.
ЛТ: в центре локтевого сгиба.
- 13(2). ТИ: плечевой сустав.
ЛТ: на медиальной передней поверхности плечевой кости, на 2 цуны ниже подмышечной складки, между головками двуглавой мышцы плеча.
См. рис. 9, 10.

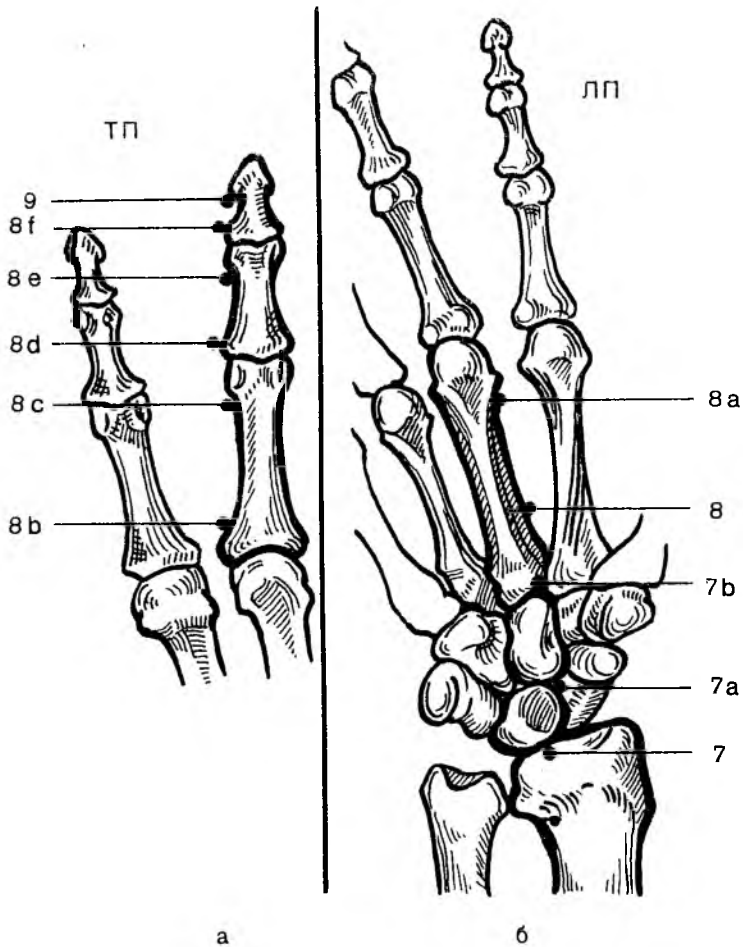


Рис. 9. Локализация точек меридиана кровообращения на тыльно-лучевой поверхности 3 пальца (а) и на ладонной поверхности правой кисти (б).

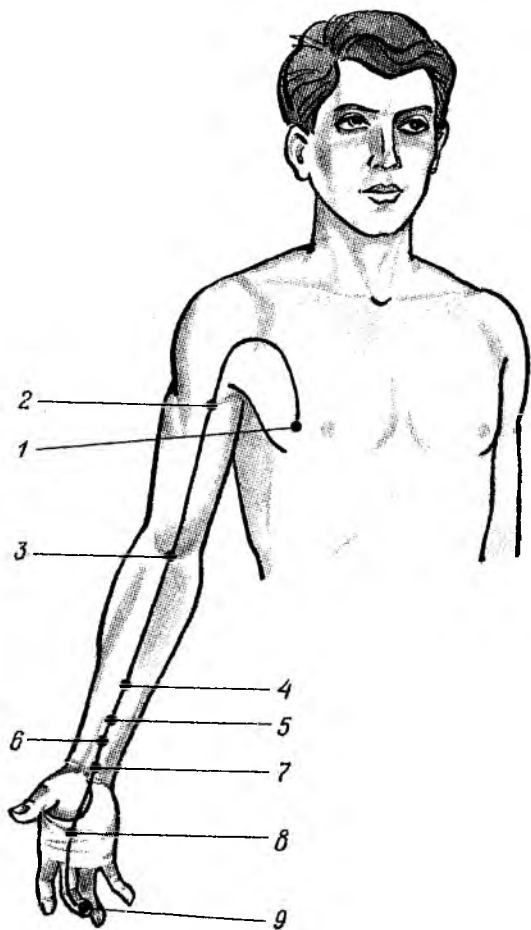


Рис. 10. Локализация точек меридиана кровообращения на руке и груди.

Меридиан аллергии или сосудистой дегенерации

- 1(1). ТИ: сосудистые и (или) аллергические поражения кожи нижнего отдела туловища, нижних конечностей, органов брюшной полости и малого таза.
ЛТ: над бугристостью дистальной фаланги 3 пальца кисти на тыльно-лучевой поверхности.
- 2(1.1). ТИ: нарушения лимфодинамики при сосудистых поражениях и аллергических процессах (аутосенсбилизация).
ЛТ: у основания дистальной фаланги 3 пальца кисти на тыльно-лучевой поверхности.
- 3(1a). ТИ: нарушения вегетативной регуляции при аллергии, иммунотоксические реакции.
ЛТ: на тыльно-локтевой поверхности средней фаланги 3 пальца кисти в месте перехода головки в тело.
- 4(1в). КТИ: аллергия всего тела и сосудистые поражения.
ЛТ: на тыльно-локтевой поверхности средней фаланги 3 пальца кисти в месте перехода тела в основание.
- 5(1с). ТИ: «склероз сосудов».
ЛТ: на тыльно-локтевой поверхности проксимальной фаланги 3 пальца кисти в месте перехода головки в тело.
- 6(2). ТИ: аллергические и сосудистые поражения кожи затылка, верхних конечностей, органов грудной полости и шеи.
ЛТ: на тыльно-локтевой поверхности проксимальной фаланги 3 пальца кисти в месте перехода тела в основание.
- 7(3). ТИ: аллергические и сосудистые поражения кожи головы, органов головы, полости рта, носа, придаточных пазух носа.
ЛТ: на тыльно-локтевой поверхности 3 пястной кости в месте перехода головки в тело.
См. рис. 11.

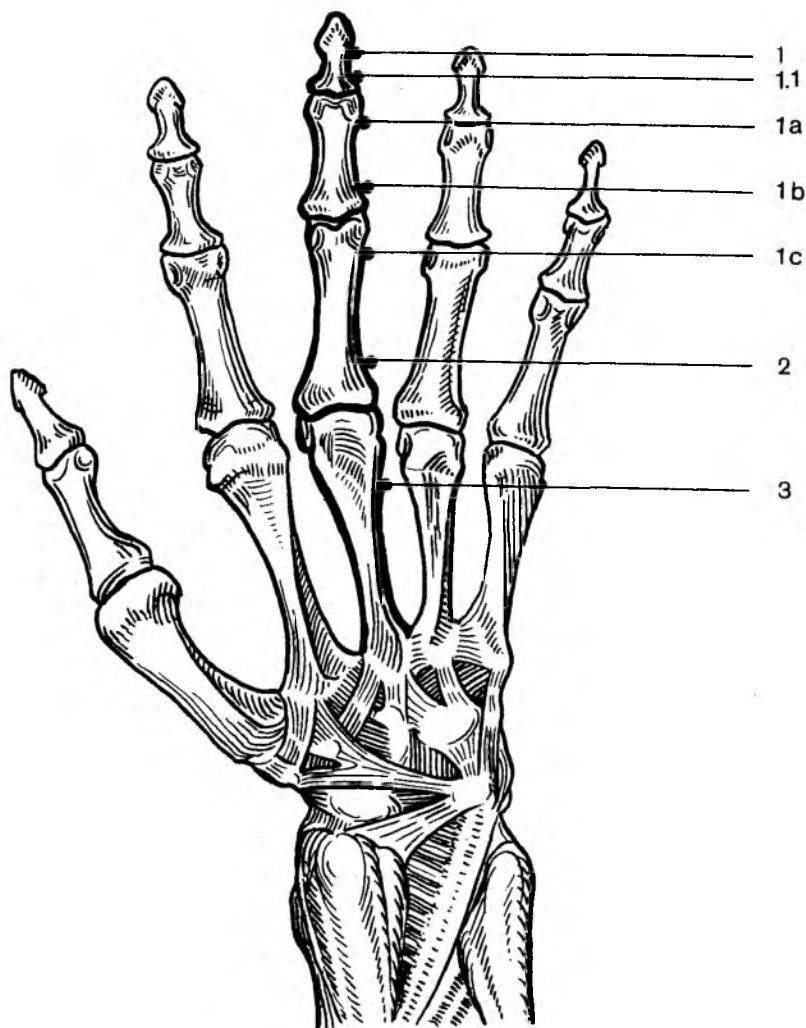


Рис. 11. Локализация точек меридиана аллергии на тыльно-лучевой поверхности 3 пальца правой кисти.

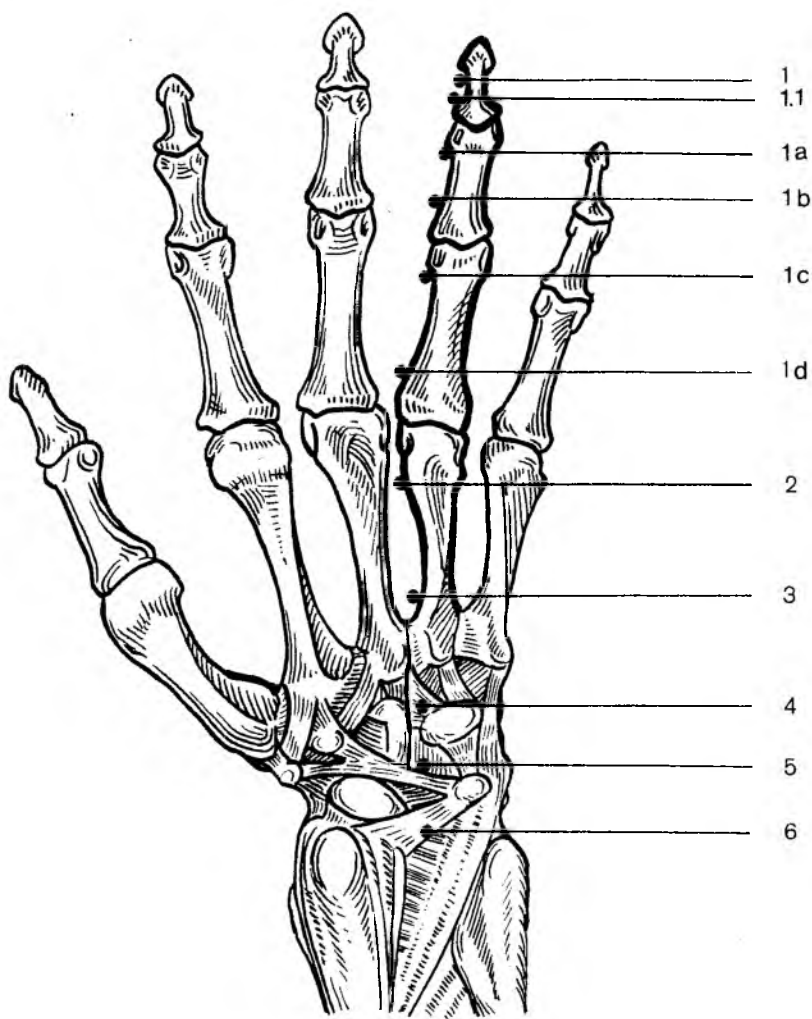


Рис. 12. Локализация точек меридиана эпителиальной и паренхиматозной дегенерации на тыльно-лучевой поверхности 4 пальца и на тыльной поверхности правой кисти.

Меридиан тройного обогревателя — эндокринной системы.

- 1(1). ЧСТИ: половые железы, надпочечники.
ЛТ: над бугристостью дистальной фаланги 4 пальца кисти на тыльно-локтевой поверхности.
- 2(1.1). ТИ: симпатoadреналовая система.
ЛТ: под основанием дистальной фаланги 4 пальца кисти на тыльно-локтевой поверхности.
- 3(1a). СТИ: шейные узлы симпатического ствола. Верхний шейный узел иннервирует органы, кожу, сосуды головы и шеи, участвует в образовании внутреннего, наружного и общего сонного, глазного, вокругсосудистых сплетений ветвей внутренней сонной артерии, средний — в образовании сердечного, общего сонного сплетений и сплетения нижней щитовидной артерии, звездчатый — в образовании подключичного, позвоночного, сердечного сплетений.
ЛТ: на тыльно-локтевой поверхности средней фаланги 4 пальца кисти в месте перехода головки в тело.
- 4(1b). КТИ: эндокринная система (эндокринные железы).
ЛТ: на тыльно-локтевой поверхности средней фаланги 4 пальца кисти в месте перехода тела в основание.
- 5(1c). ТИ: секреция инсулина и глюкагона — слева.
ТИ: внутренняя секреция поджелудочной железы — справа.
ЛТ: на тыльно-локтевой поверхности проксимальной фаланги 4 пальца кисти в месте перехода головки в тело.
- 6(1d). ТИ: молочные железы.
ЛТ: на тыльно-локтевой поверхности проксимальной фаланги 4 пальца кисти в месте перехода тела в основание.
- 7(2). ЧСТИ: паращитовидная, щитовидная железы, тимус.
ЛТ: на тыльно-локтевой поверхности 4 пястной кости в месте перехода головки в тело.
- 8(3). ЧСТИ: гипофиз, эпифиз.
ЛТ: на тыльно-локтевой поверхности 4 пястной кости в месте перехода тела в основание.
- 9(4). ТИ: дистальная область лучезапястного сустава.

- ЛТ: на тыльной стороне кисти, на середине границы соприкосновения суставных поверхностей крючковидной и трехгранной костей.
- 10(14). ТИ: акромиально-ключичный сустав.
ЛТ: в ямке на задне-нижнем крае акромиального отростка лопатки.
- 10(15). ОСТИ: суставы верхней конечности.
ЛТ: на медиально-верхнем углу лопатки.
- 11(16). ТИ: передняя железистая доля гипофиза (аденогипофиз). Секретирует так называемые тропные гормоны — кортикотропин, лютропин, фоллитропин, тиреотропин, соматотропин, пролактин, липотропины (регуляторы жирового обмена и предшественники эндорфинов), меланотропин.
ЛТ: у заднего края грудино-ключично-сосцевидной мышцы на уровне угла нижней челюсти.
- 12(17). ОСТИ: среднее ухо.
ЛТ: во впадине между сосцевидным отростком и углом нижней челюсти.
- 13(18). ОСТИ: внутреннее ухо.
ЛТ: на передне-нижней поверхности сосцевидного отростка.
- 14(19). ТИ: мозговые оболочки.
ЛТ: на передне-верхней поверхности сосцевидного отростка.
- 15(20). ТИ: гипоталамус.
Скопления нервных клеток в трех областях гипоталамуса (передней, промежуточной, дорсальной) образуют более 30 нейросекреторных ядер. Ядра тесно связаны системой афферентных и эфферентных путей. Гипоталамус оказывает регулирующее воздействие на многочисленные вегетативные функции организма. Нейросекрет его ядер способен влиять на функции железистых клеток гипофиза, усиливая или тормозя секрецию ряда гормонов, которые, в свою очередь, регулируют деятельность других желез внутренней секреции.
ЛТ: на границе перехода кожи головы в складку, идущую к верхушке уха.
- 16(21). ЧСТИ: передняя часть глаза (от века до стекловидного тела).
ЛТ: в углублении спереди и сверху от козелка, у заднего края сустава нижней челюсти.
- 17(22). ТИ: языкоглоточный нерв (IX пара черепных нервов). Образован чувствительными, двигательными и секреторными (парасимпатическими) волокна-

ми. Иннервирует слизистую оболочку задней трети языка, глотки, среднего уха, барабанной полости, слуховой трубы, небных дужек и небных миндалин, сонный синус и сонный клубочек, широкоглоточную мышцу, вместе с ветвями блуждающего нерва и ветвями симпатического ствола образует глоточное сплетение, присоединяется к ушной ветви блуждающего нерва.

ЛТ: на 1 цунь кпереди завитка, в месте, где пальпируется пульсация височной артерии.

18(23).

ТИ: верхняя часть височно-нижнечелюстного сустава.

ЛТ: в углублении у латерального края бровной дуги (на конце брови).

См. рис. 13, 14.

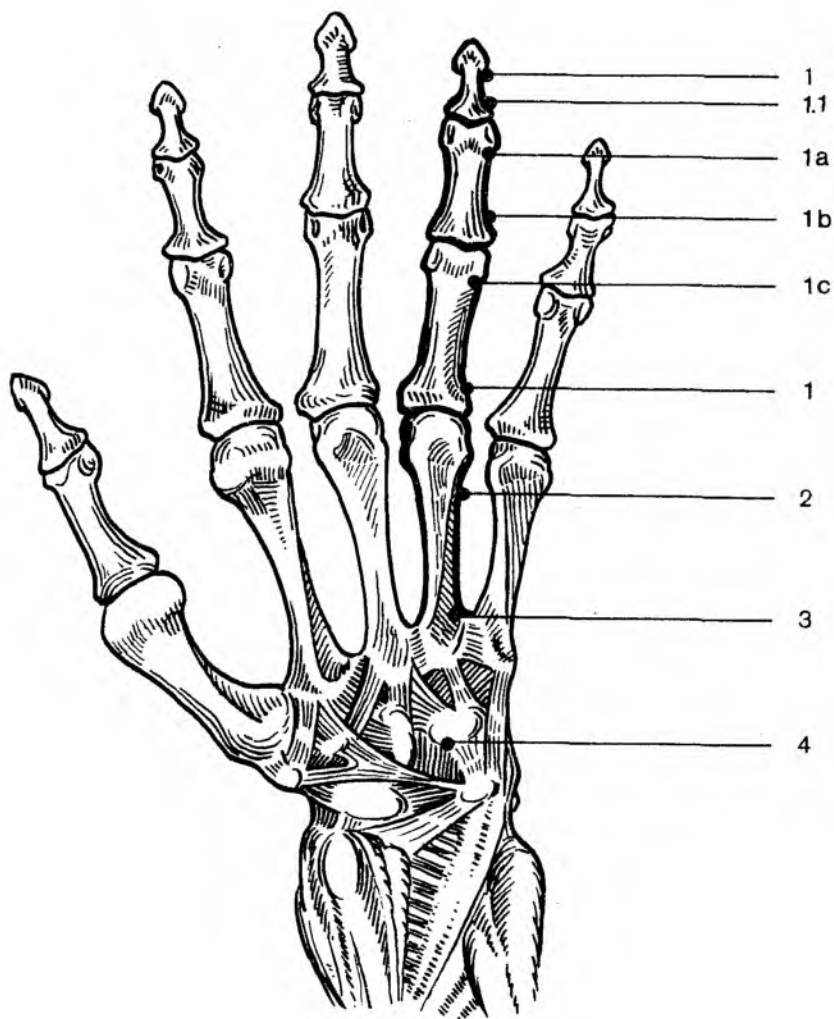


Рис. 13. Локализация точек меридиана эндокринной системы на тыльно-локтевой поверхности 4 пальца и на тыльной поверхности правой кисти.

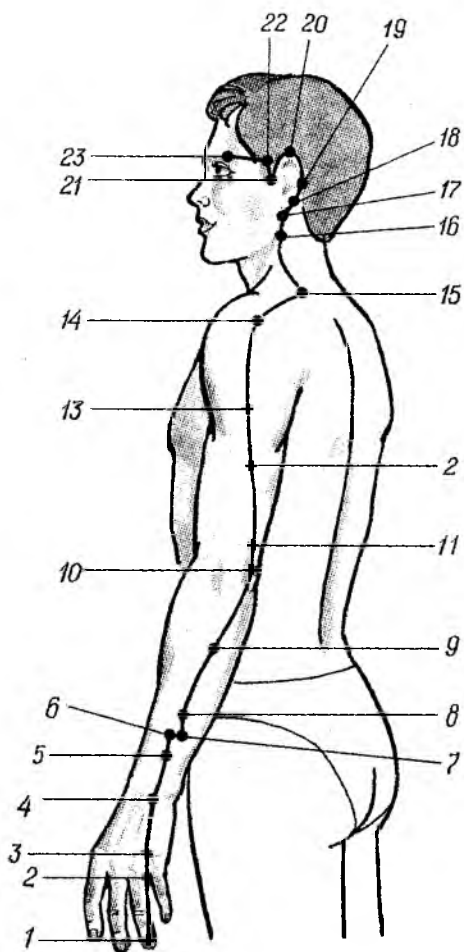


Рис. 14. Локализация точек меридиана сердца на ладонной поверхности (а) правой кисти и на тыльно-лучевой поверхности мизинца (б).

Меридиан сердца

- 1(9). ТИ: клапан легочной артерии — справа.
 ТИ: порталный клапан — слева.
 ЛТ: над бугристостью дистальной фаланги 5 пальца кисти на тыльно-лучевой поверхности.
- 2(8f). ТИ: субэндокардиальная сеть лимфатических сосудов.
 ЛТ: у основания дистальной фаланги 5 пальца кисти на тыльно-лучевой поверхности.
- 3(8e). ТИ: сердечное сплетение.
 Образовано шейными и грудными сердечными нервами, возникающими от узлов симпатического ствола, шейными и грудными ветвями блуждающего нерва и ветвями гортанного нерва. Иннервирует сердце и его сосуды.
 ЛТ: на тыльно-лучевой поверхности средней фаланги 5 пальца кисти в месте перехода головки в тело.
- 4(8d). ТИ: лимфатические сосуды миокарда.
 ЛТ: на тыльно-лучевой поверхности средней фаланги 5 пальца кисти в месте перехода тела в основание.
- 5(8c). КТИ: сердце.
 ЛТ: на тыльно-лучевой поверхности проксимальной фаланги 5 пальца кисти в месте перехода головки в тело.
- 6(8в). ТИ: эндокард.
 ЛТ: на тыльно-лучевой поверхности проксимальной фаланги 5 пальца кисти в месте перехода тела в основание.
- 7(8a). ТИ: перикард с субперикардальными лимфатическими сосудами.
 ЛТ: на ладонно-лучевой поверхности 5 пястной кости в месте перехода головки в тело.
- 8(8). ТИ: трехстворчатый клапан — справа.
 ТИ: митральный клапан — слева.
 ЛТ: на ладонно-лучевой поверхности 5 пястной кости в месте перехода тела в основание.
- 9(7a). ТИ: атриовентрикулярный узел — справа.
 ТИ: левая ножка пучка Гисса — слева.
 ЛТ: на ладонной поверхности запястно-пястного сустава в месте соприкосновения суставных поверхностей 4 и 5 пястной костей и крючковидной кости.
- 10(7). ТИ: проводящая система сердца.
 ЛТ: на передней поверхности межзапястного сустава,

образованного крючковидной и гороховидной костями.

11(6а). **ТИ:** синусовый узел — справа.

ТИ: синусовый аурикулярный пучок — слева.

ЛГ: на передней сустава гороховидной кости на середине соприкосновения суставных поверхностей гороховидной и трехгранной костей.

12(б). **ТИ:** миокард.

ЛГ: на передней поверхности лучезапястного сустава на середине соприкосновения суставного диска и суставной поверхности локтевой кости.

См. рис. 15, 16.

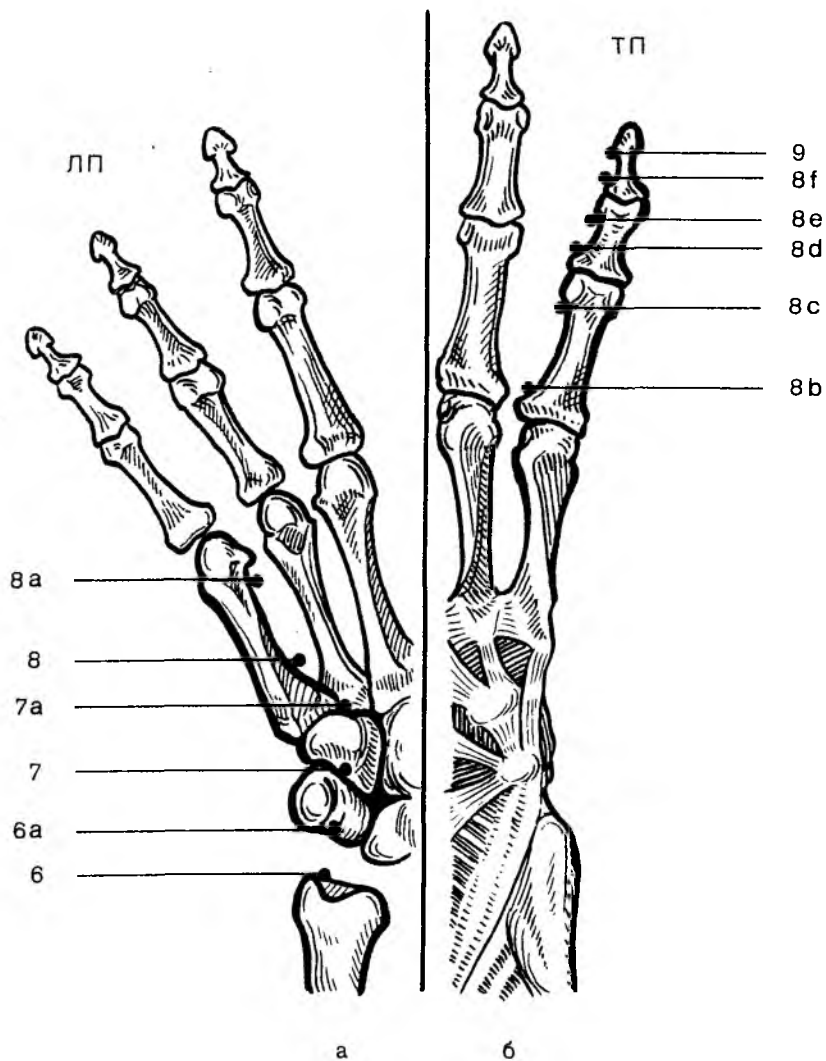


Рис. 15. Локализация точек меридиана сердца на ладонной поверхности (а) правой кисти и на тыльно-лучевой поверхности мизинца (б).

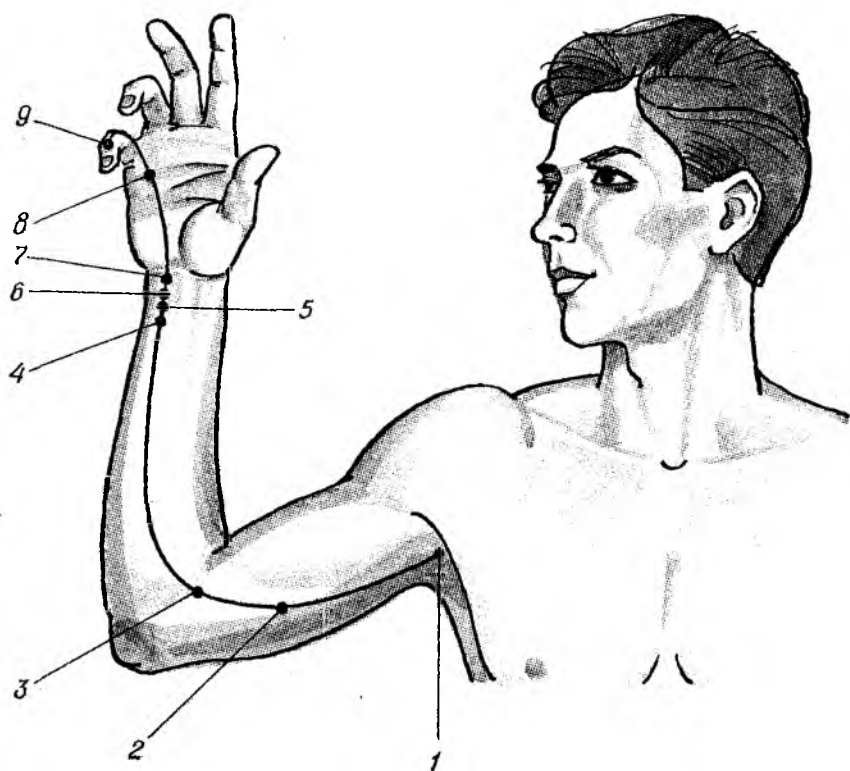


Рис. 16. Локализация точек меридиана сердца на руке.

Меридиан тонкой кишки

- 1(1). ТИ: терминальный отдел подвздошной кишки — справа.
ТИ: подвздошная кишка — слева.
ЛТ: над бугристостью дистальной фаланги 5 пальца кисти на тыльно-локтевой поверхности.
- 2(1-1). ТИ: лимфатические сосуды двенадцатиперстной кишки — справа.
ТИ: лимфатические сосуды терминального отдела тонкой кишки и брыжеечные (млечные) лимфатические сосуды.
ЛТ: у основания дистальной фаланги 5 пальца кисти на тыльно-локтевой поверхности.
- 3(1a). ТИ: верхнее брыжеечное сплетение — справа.
Образовано ветвями чревного сплетения и большими чревными нервами, исходящими из 5—9 грудных ганглиев симпатического ствола. Иннервирует верхнюю брыжеечную артерию, ее ветви, сопровождающие вены, тонкую кишку, слепую, восходящую ободочную и правую часть поперечной ободочной кишки.
ТИ: нижнее брыжеечное сплетение — слева.
Образовано ветвями сплетения брюшного отдела аорты и межбрыжеечного сплетения (поясничные узлы симпатического ствола). Иннервирует нижнюю брыжеечную артерию, ее ветви, сопровождающие вены, левую половину поперечной ободочной кишки, нисходящую и сигмовидную ободочные кишки, проксимальную часть прямой кишки.
ЛТ: на тыльно-локтевой поверхности средней фаланги 5 пальца кисти в месте перехода головки в тело.
- 4(1в). КТИ: двенадцатиперстная кишка — справа.
КТИ: тонкая кишка — слева.
ЛТ: на тыльно-локтевой поверхности средней фаланги 5 пальца кисти в месте перехода тела в основание.
- 5(1с). ТИ: брюшина 12-перстной кишки — справа.
ТИ: брюшина тонкой кишки — слева.
ЛТ: на тыльно-локтевой поверхности проксимальной фаланги 5 пальца кисти в месте перехода головки в тело.
- 6(2). ТИ: нижняя горизонтальная часть 12-перстной кишки — справа.

- ТИ: тощая и тонкая кишка — слева.
 ЛТ: на тыльно-локтевой поверхности проксимальной фаланги 5 пальца кисти в месте перехода тела в основание.
- 7(3). ТИ: нисходящая часть 12-перстной кишки — справа.
 ТИ: изгиб между 12-перстной и тощей кишкой — слева.
 ЛТ: на тыльно-локтевой поверхности 5 пястной кости в месте перехода головки в тело.
- 8(3а). ТИ: Фатеров сосок — справа.
 ТИ: Пейеровы бляшки — слева.
 ЛТ: на середине тыльно-локтевой поверхности 5 пястной кости.
- 9(4). ТИ: верхняя горизонтальная часть 12-перстной кишки — справа.
 ТИ: восходящая часть 12-перстной кишки — слева.
 ЛТ: на тыльно-локтевой поверхности 5 пястной кости в месте перехода тела в основание.
- 10(5). ТИ: проксимальная часть лучезапястного сустава.
 ЛТ: в ямке под головкой локтевой кости (у проксимального края крючковидной кости).
- 11(6). ТИ: шейный отдел позвоночника.
 ЛТ: над шиловидным отростком локтевой кисти.
- 12(7). ТИ: нервы верхних конечностей.
 ЛТ: у края локтевой кости, на 4 цуны выше ТИ шейного отдела позвоночника.
- 13(8). ТИ: локтевой сустав.
 ЛТ: в ямке между локтевым отростком и внутренним мыщелком плечевой кости.
- 14(9). ТИ: мышцы верхних конечностей (мышцы руки до запястья).
 ЛТ: у задненижнего края подмышечной ямки, между лопаткой и плечевой костью.
- 15(10). ТИ: плечевой сустав (задняя часть).
 ЛТ: у заднего края плечевого сустава по задней подмышечной линии в углублении на ости лопатки.
- 16(15). ТИ: передняя (железистая) доля гипофиза (аденогипофиз).
 ЛТ: на четыре пальца латеральнее остистого отростка седьмого шейного позвонка.
- 17(16). ТИ: головной отдел блуждающего нерва.
 В этот отдел входят менингеальная и ушная ветви нерва. Менингеальная ветвь иннервирует твердую мозговую оболочку головного мозга в области задней черепной ямки, стенки поперечного и затылочного синусов; ушная ветвь — кожу за-

- дней стенки наружного слухового прохода и кожу наружной поверхности ушной раковины.
- ЛТ: у заднего края грудиноключнососцевидной мышцы на уровне угла нижней челюсти.
- 18(18). ТИ: преддверно-улитковый нерв (VIII пара черепных нервов).
Образован чувствительными нервными волокнами, идущими от органа слуха и равновесия. Тела нейронов, составляющих преддверную часть нерва, лежат в преддверном узле. Их периферические отростки заканчиваются рецепторами в перепончатом лабиринте внутреннего уха. Улитковая часть нерва образована центральными отростками нейронов улиткового узла. Периферические отростки клеток этого узла заканчиваются в спиральном органе улиткового протока.
- ЛТ: у наружного края впадины под дугой скуловой кости.
- 19(19). ТИ: наружное ухо и слуховой проход.
ЛТ: впереди козелка, сзади суставного отростка нижней челюсти.
См. рис. 17, 18.

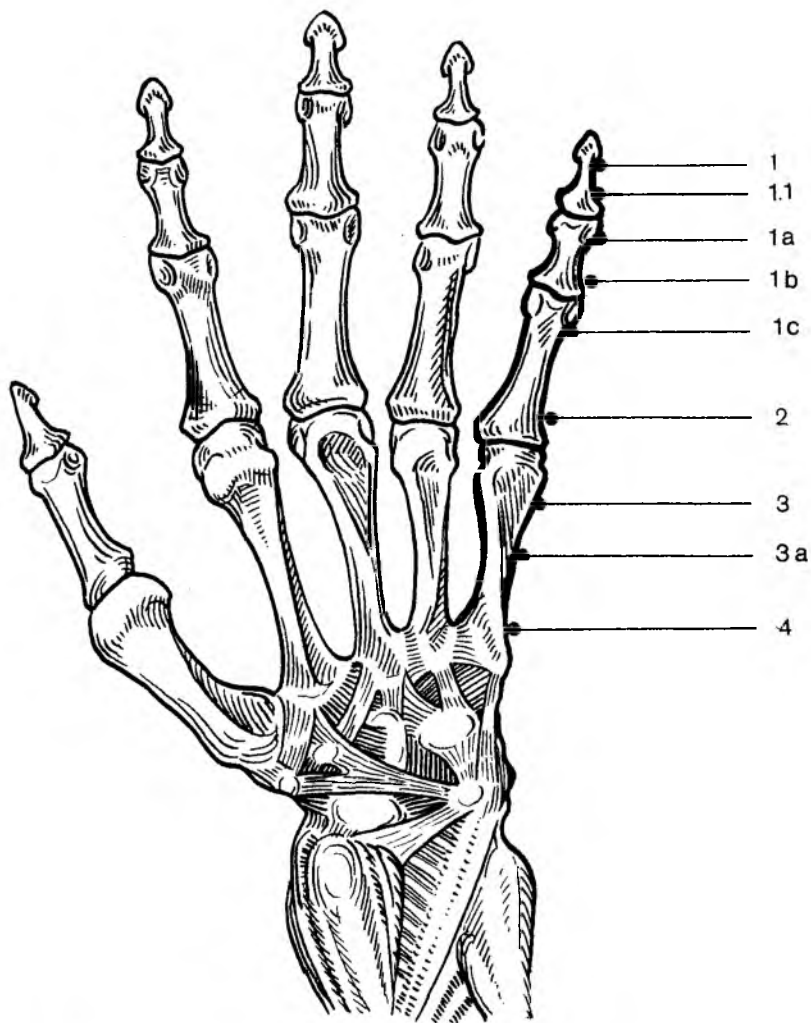


Рис. 17. Локализация точек меридиана тонкой кишки на тыльно-локтевой поверхности мизинца.

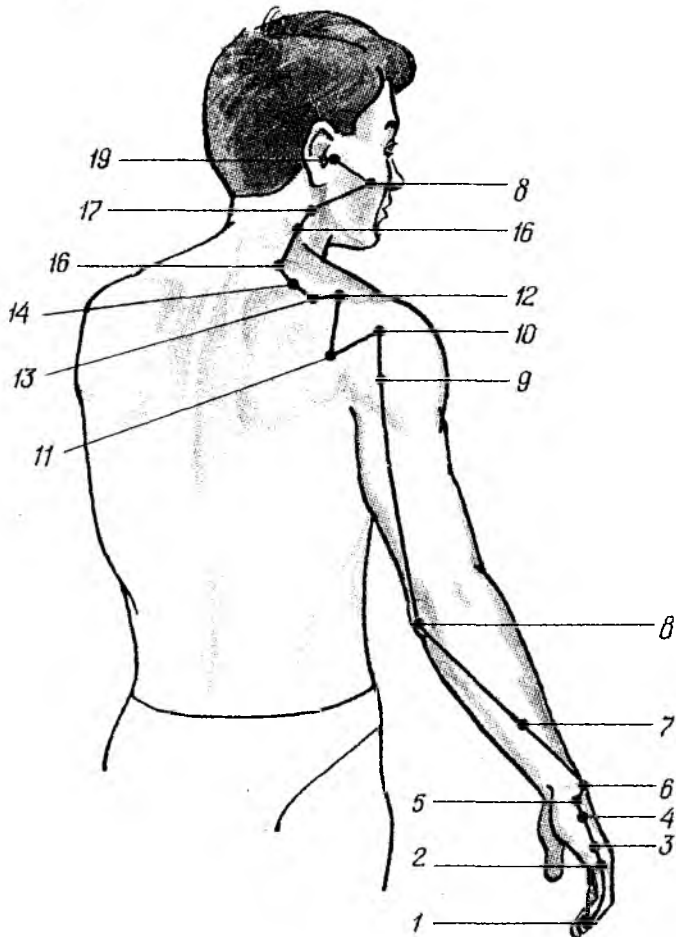


Рис. 18. Локализация точек меридиана тонкой кишки на руке, шее и лице.

Меридиан селезенки — поджелудочной железы

- 1(1). ТИ: образование поджелудочной железой белковых ферментов (протеаз) и белковый обмен — справа.
ТИ: функция белой пульпы селезенки при нагрузке на лимфатическую систему верхней части туловища (шея и грудная клетка) — слева.
ЛТ: над бугристостью дистальной фаланги I пальца стопы, на его тыльно-медиальной поверхности.
- 2(1а). КТИ: поджелудочная железа — справа.
КТИ: селезенка — слева.
ЛТ: у основания дистальной фаланги I пальца стопы на тыльно-медиальной поверхности.
- 3(1в). ТИ: брюшина поджелудочной железы — справа.
ТИ: брюшина селезенки — слева.
ЛТ: на тыльно-медиальной поверхности проксимальной фаланги I пальца стопы в месте перехода головки в тело.
- 4(2). ТИ: образование поджелудочной железой нуклеопротеидов (нуклеаз), нуклеопротеидный обмен и обмен мочевой кислоты — справа.
ТИ: функция белой пульпы селезенки при нагрузке на лимфатическую систему нижней части тела (брюшная полость и малый таз) — слева.
ЛТ: на тыльно-медиальной поверхности проксимальной фаланги I пальца стопы в месте перехода тела в основание.
- 5(3). ТИ: образование поджелудочной железой углеводов ферментов (амилазы, мальтазы) и углеводный обмен — справа.
ТИ: красная пульпа селезенки — слева.
ЛТ: на тыльно-медиальной поверхности I плюсневой кости в месте перехода головки в тело.
- 6(4). ТИ: образование поджелудочной железой жировых ферментов (эстеразы, липазы) и жировой обмен — справа.
ТИ: ретикулоэндотелиальная система и ретикулоэндотелиальная сеть селезенки — слева.
ЛТ: на тыльно-медиальной поверхности I плюсневой кости в месте перехода тела в основание.
- 7(5). ТИ: верхняя часть голеностопного сустава.
ЛТ: в ямке книзу и впереди от внутренней лодыжки.
- 8(6). ТИ: кровь.

- 9(7). ЛТ: у медиального края большеберцовой кости на три цуня выше верхнего края медиальной лодыжки.
 ТИ: диафрагма таза.
 ЛТ: у медиального края большеберцовой кости на шесть цуней выше верхнего края медиальной лодыжки.
- 10(8). ТИ: диафрагма малого таза.
 ЛТ: у медиального края большеберцовой кости на десять цуней выше верхнего края медиальной лодыжки.
- 11(9). ТИ: лимфатические сосуды нижних конечностей.
 ЛТ: у задненижнего мышцелка большеберцовой кости во впадине на два цуня ниже нижнего края коленной чашечки.
- 12(10). ТИ: вены таза.
 ЛТ: на 2 цуня выше медиального мышцелка бедренной кости.
- 13(11). ТИ: половые железы.
 ЛТ: на средней внутренней поверхности бедренной кости, у нижнего отдела длинной проводящей мышцы бедра.
- 14(12). ТИ: лимфатические сосуды яичка, придатка яичка, семявыносящего протока, яичников и маточных труб.
 ЛТ: на 3,5 цуня латеральнее передней срединной линии, у верхнего края симфиза.
- 15(13). ТИ: лимфатические сосуды предстательной железы, семенных пузырьков, уретры, матки и влагалища.
 ЛТ: на 4 цуня латеральнее передней срединной линии, на середине паховой складки.
- 16(14). ТИ: лимфатические узлы желчного пузыря и желчных путей.
 ЛТ: на 4 цуня латеральнее передней срединной линии и на 1,3 цуня ниже пупка.
- 17(15). ТИ: лимфатические узлы поджелудочной железы — справа.
 ТИ: поджелудочно-селезеночные лимфатические узлы (лимфатическая сеть селезенки, хвоста поджелудочной железы и дна желедка) — слева.
 ЛТ: на 4 цуня латеральнее пупка.
- 18(16). ТИ: лимфатические узлы правой половины желудка и пилорические лимфатические узлы.
 ЛТ: на 4 цуня латеральнее передней срединной линии и на 3 цуня выше уровня пупка.
- 19(17). ТИ: лимфатические узлы левой части желудка и кардиального отдела желудка.

- ЛТ: в пятом межреберье на 6 цуней латеральнее передней срединной линии.
- 20(18). ТИ: печеночные и порталные лимфатические узлы.
ЛТ: в четвертом межреберье на 6 цуней латеральнее передней срединной линии.
- 21(19). ТИ: диафрагмальные и задние средостенные лимфатические узлы.
ЛТ: в третьем межреберье на 6 цуней латеральнее передней срединной линии.
- 22(20). ТИ: легочные лимфатические узлы.
ЛТ: во втором межреберье на 6 цуней латеральнее передней срединной линии.
- 23(21). ТИ: лимфатические узлы и сосуды селезенки (только слева).
ЛТ: в шестом межреберье по средней подмышечной линии.
См. рис. 19, 20, 21.

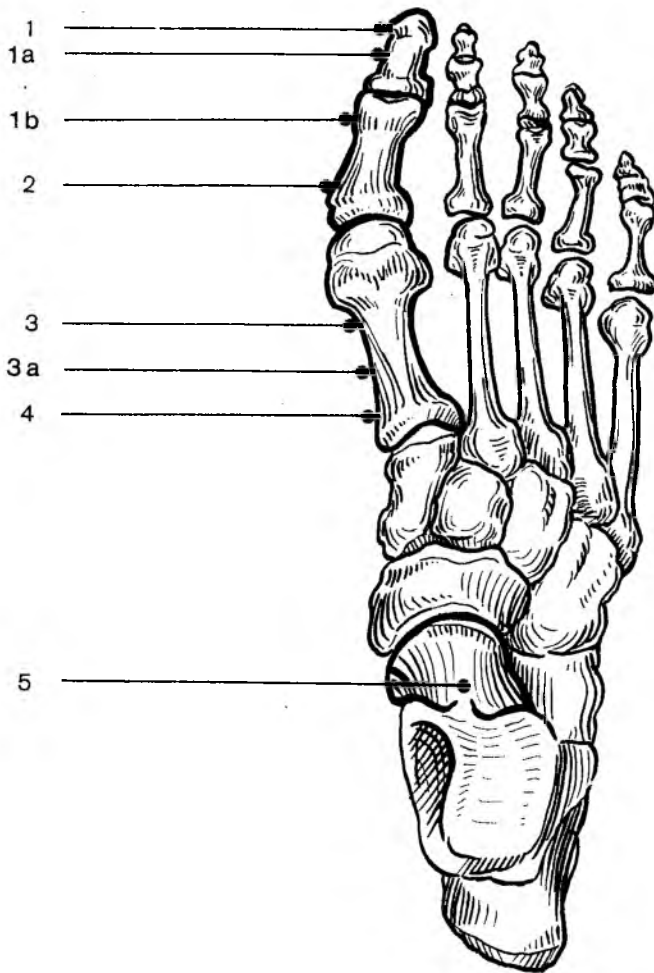


Рис. 19. Локализация точек меридиана селезенки-поджелудочной железы на тыльно-медиальной поверхности 1 пальца правой стопы.

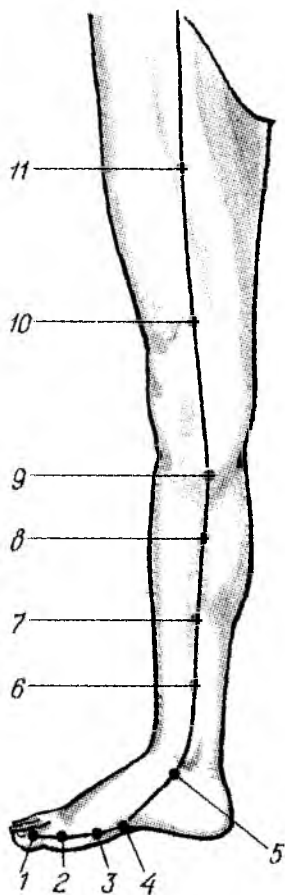


Рис. 20. Локализация точек меридиана селезенки-поджелудочной железы на ноге.

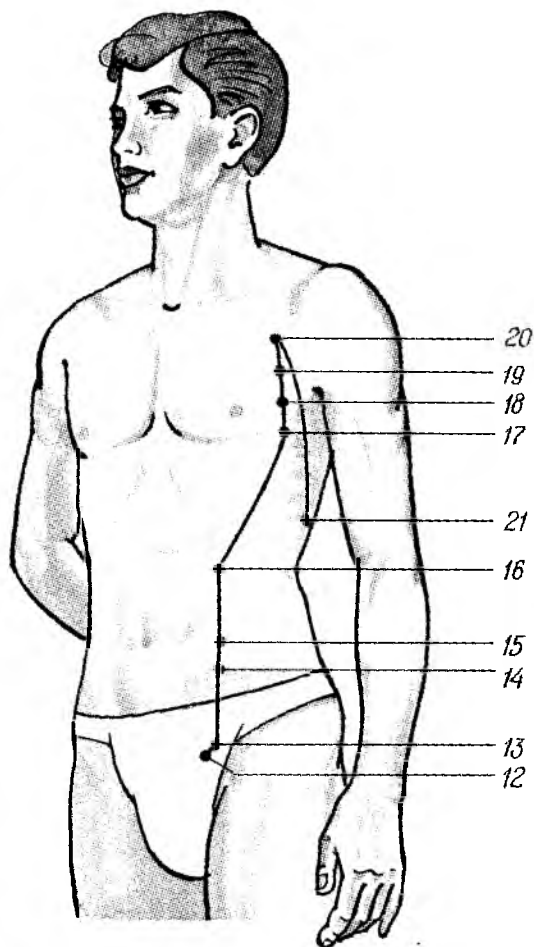


Рис. 21. Локализация точек меридиана селезенки-поджелудочной железы на туловище

Меридиан печени

- 1(1). ТИ: центральная венозная система печени
ЛТ: на тыльно-латеральной поверхности дистальной фаланги I пальца стопы в месте перехода бугристости в тело.
- 2(1a). КТИ: печень.
ЛТ: у основания дистальной фаланги I пальца стопы на тыльно-латеральной поверхности.
- 3(1в). ТИ: брюшина печени, капсула печени.
ЛТ: на тыльно-латеральной поверхности проксимальной фаланги I пальца стопы в месте перехода головки в тело.
- 4(2). ТИ: клетки и дольки печени.
ЛТ: на тыльно-латеральной поверхности проксимальной фаланги I пальца стопы в месте перехода тела в основание.
- 5(2a). ТИ: междольковые желчные протоки.
ЛТ: на тыльно-латеральной поверхности I плюсневой кости в месте перехода головки в тело.
- 6(3). ТИ: периваскулярная или перипортальная система печени.
ЛТ: на тыльно-латеральной поверхности I плюсневой кости в месте перехода тела в основание.
- 7(4). ТИ: передняя часть голеностопного сустава.
ЛТ: у медиального края сухожилия мышцы-разгибателя большого пальца на уровне верхушки медиальной лодыжки.
- 8(5). ТИ: кровь.
ЛТ: у медиального края большеберцовой кости на три цуня выше верхнего края медиальной лодыжки.
- 8(7). ТИ: вены нижних конечностей.
ЛТ: у передне-нижнего края медиального мыщелка большеберцовой кости.
- 9(8). ТИ: коленный сустав.
ЛТ: кзади от медиального мыщелка бедренной кости в углублении, на уровне центра коленной чашечки.
- 10(10). ТИ: задняя стенка сальниковой сумки.
ЛТ: на внутренней поверхности бедра на один цунь ниже бугорка лобковой кости.
- 11(11). ТИ: половые железы.
ЛТ: на внутренней поверхности бедра на уровне про-

межности или на уровне нижней ягодичной складки.

11(14).

ТИ: лимфатические сосуды печени.

ЛТ: в месте прикрепления девятого ребра к реберному хрящу.

См. рис. 22, 23, 24.

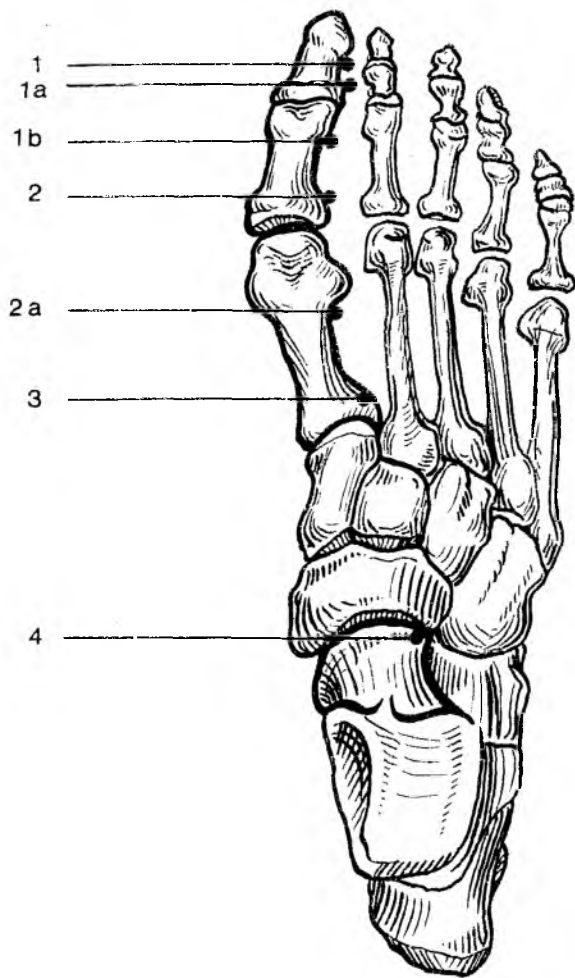


Рис. 22. Локализация точек меридиана печени на тыльно-латеральной поверхности большого пальца стопы и на тыльной поверхности правой стопы.

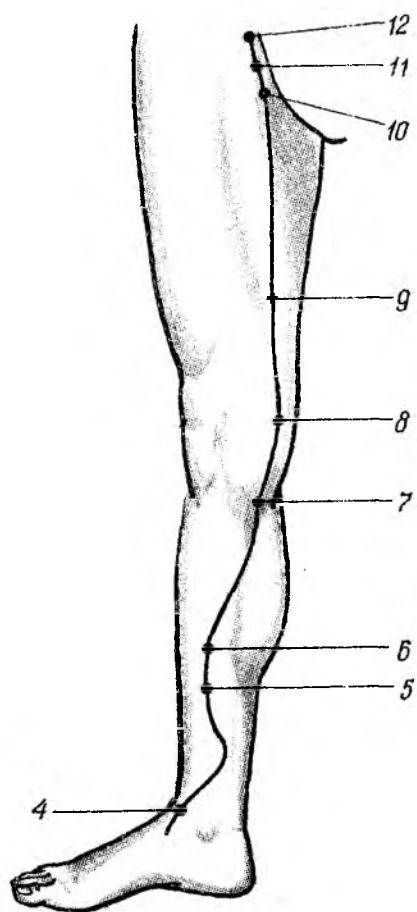


Рис. 23. Локализация точек меридиана печени на ноге.

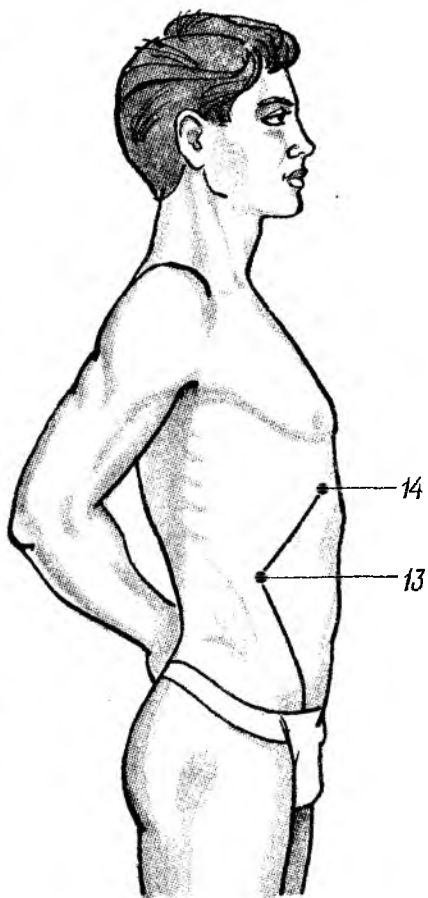


Рис. 24. Локализация точек меридиана печени на туловище.

Меридиан суставной дегенерации

- 1(1). ТИ: суставы тазового пояса и нижних конечностей.
 ЛТ: над бугристостью дистальной фаланги 2 пальца стопы на тыльно-медиальной поверхности.
- 2(1-1). ТИ: очагово-токсические поражения всех суставов.
 ЛТ: у основания дистальной фаланги 2 пальца стопы на тыльно-медиальной поверхности.
- 3(1в). КТИ: все суставы, включая суставы позвоночника.
 ЛТ: у основания медиальной фаланги 2 пальца стопы на тыльно-медиальной поверхности.
- 4(1с). ТИ: внутренние оболочки всех суставов.
 ЛТ: на тыльно-медиальной поверхности проксимальной фаланги 2 пальца стопы в месте перехода головки в тело.
- 5(2). ТИ: суставы плечевого пояса и руки до запястья.
 ЛТ: на тыльно-медиальной поверхности проксимальной фаланги 2 пальца стопы в месте перехода тела в основание.
- 6(3). ТИ: сустав I—II шейных позвонков и височно-нижнечелюстной сустав.
 ЛТ: на тыльно-медиальной поверхности 2 плюсневой кости в месте перехода головки в тело.
 См. рис. 25.

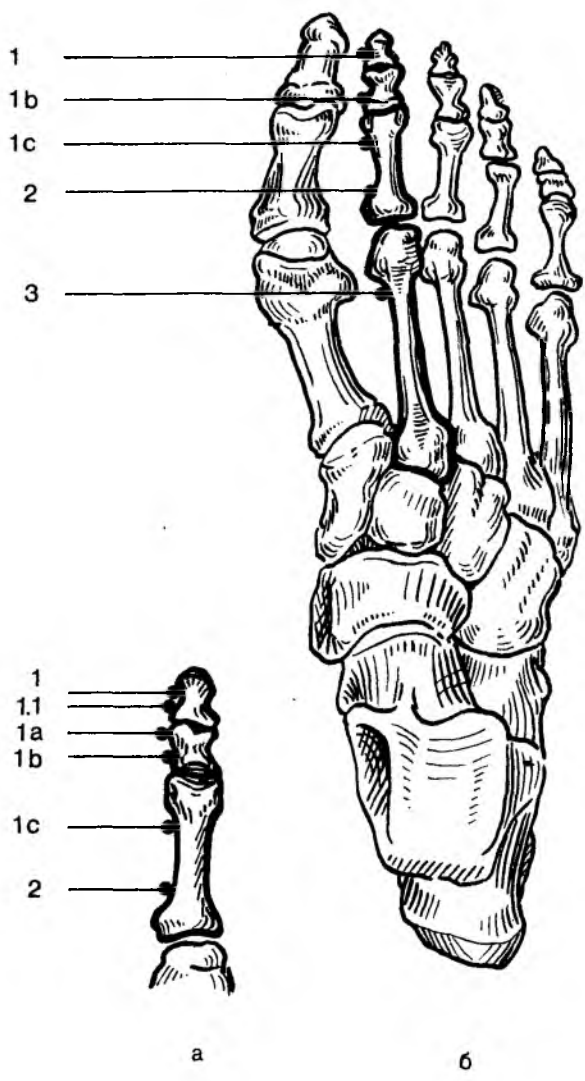


Рис. 25. Локализация точек меридиана суставной дегенерации на тыльно-лодальной поверхности 2 пальца стопы (а) и на тыльной поверхности стопы (б).

Меридиан желудка

- 1(45). ТИ: привратник — справа.
 ТИ: левая часть тела желудка.
 ЛТ: на тыльно-латеральной поверхности дистальной фаланги 2 пальца стопы в месте перехода бугристости в тело.
- 2(44d). ТИ: лимфатические сосуды желудка.
 ЛТ: у основания дистальной фаланги 2 пальца стопы на тыльно-латеральной поверхности.
- 3(44c). ТИ: солнечное сплетение.
 Образовано отростками клеток чревных ганглиев, большими и малыми чревными (5—11 грудные узлы симпатического ствола), поясничными внутренностными нервами, шейными ветвями симпатического ствола. Формирует почечное, селезеночное и желудочное сплетения, принимает участие в образовании ряда других сплетений брюшной полости.
 ЛТ: на тыльно-латеральной поверхности медиальной фаланги 2 пальца стопы в месте перехода головки в тело.
- 4(44в). КТИ: желудок.
 ЛТ: на тыльно-латеральной поверхности медиальной фаланги 2 пальца стопы в месте перехода тела в основание.
- 5(44а). ТИ: брюшина желудка.
 ЛТ: на тыльно-латеральной поверхности проксимальной фаланги 2 пальца стопы в месте перехода головки в тело.
- 6(44). ТИ: вход в привратник и тело желудка — справа.
 ТИ: свод желудка — слева.
 ЛТ: на тыльно-латеральной поверхности проксимальной фаланги 2 пальца стопы в месте перехода тела в основание.
- 7(43а). ТИ: продольные складки слизистой оболочки желудка вдоль малой кривизны.
 ЛТ: на тыльно-латеральной поверхности 2 плюсневой кости в месте перехода головки в тело.
- 8(43). ТИ: кардиальный отдел желудка — слева.
 ТИ: тело желудка — справа.
 ЛТ: на тыльно-латеральной поверхности 2 плюсневой кости в месте перехода тела в основание.
- 9(42а). ТИ: нижняя часть пищевода.

- ЛТ: на тыльной поверхности стопы в месте соприкосновения суставных поверхностей 2-й плюсневой, промежуточной и латеральной клиновидных костей.
- 10(42). ТИ: верхняя часть пищевода.
ЛТ: на тыльной поверхности стопы в месте соприкосновения суставных поверхностей ладьевидной, промежуточной и латеральной клиновидных костей.
- 11(41). ТИ: верхняя часть голеностопного сустава.
ЛТ: на сгибе стопы, на уровне верхушки медиальной лодыжки, у шейки таранной кости, на середине крестообразной связки.
- 12(35). ТИ: коленный сустав.
ЛТ: в латеральной ямке надколенника.
- 13(33). ТИ: вены брюшной полости.
ЛТ: на передней поверхности бедра на 3 цуня выше латерального края надколенника.
- 14(32). ТИ: артерии нижних конечностей.
ЛТ: на брюшке прямой мышцы бедра на 6 цуней выше латерального края надколенника.
- 15(31). ТИ: половые железы.
ЛТ: на передней поверхности бедра, книзу от большого вертела бедренной кости, у латерального края портняжной мышцы и прямой мышцы бедра.
- 16(30). ТИ: тазобедренный сустав.
ЛТ: у верхнего края лобковой кости на 2 цуня латеральнее срединной линии.
- 17(22). ТИ: верхнее желудочное сплетение симпатической нервной системы. Образовано ветвями солнечного сплетения. Иннервирует мышцы и железы желудка.
ЛТ: на коже живота, на 2 цуня латеральнее срединной линии и на 3 цуня выше пупка.
- 18(21). ТИ: брюшной отдел блуждающего нерва. Состоит из переднего и заднего блуждающих стволов. Передний блуждающий ствол иннервирует переднюю часть желудка, малый сальник и печень, задний — заднюю часть желудка, отдает ветви к солнечному сплетению, от которого вместе с симпатическими волокнами идет к печени, селезенке, поджелудочной железе, почке, тонкой и толстой кишке.
ЛТ: на коже живота, на 2 цуня латеральнее передней срединной линии и на 4 цуня выше уровня пупка.

- 19(20). ТИ: задний блуждающий ствол (задний ствол блуждающего нерва) — слева.
 ТИ: передний блуждающий ствол (передний ствол блуждающего нерва) — слева.
 ЛТ: на коже живота, на 2 цуня латеральнее передней срединной линии и на 5 цуней выше уровня пупка.
- 20(19). ТИ: диафрагмальное сплетение блуждающего нерва.
 ЛТ: на передней поверхности живота, у нижнего края прикрепления хряща VIII ребра.
- 21(18). ТИ: легочное сплетение блуждающего нерва.
 Вместе с ветвями симпатического ствола участвует в иннервации бронхов и легких.
 ЛТ: в пятом межреберье на 4 цуня латеральнее передней срединной линии.
- 22(17). ТИ: молочная железа.
 ЛТ: в центре соска.
- 23(16). ТИ: грудной отдел блуждающего нерва.
 Образован грудными сердечными ветвями, иннервирующими сердце, бронхиальными ветвями, образующими легочное сплетение, и пищеводным сплетением.
 ЛТ: в третьем межреберье на 4 цуня латеральнее передней срединной линии.
- 24(15). ТИ: пищеводное сплетение блуждающего нерва.
 Образовано ветвями правого и левого блуждающих нервов (стволов). От сплетения отходят ветви к стенке пищевода.
 ЛТ: во втором межреберье, у верхнего края ребра, на 4 цуня латеральнее передней срединной линии.
- 25(14). ТИ: брюшная часть пищевода.
 ЛТ: в первом межреберье на 4 цуня латеральнее передней срединной линии.
- 26(13). ТИ: шейная и грудная часть пищевода.
 ЛТ: под ключицей на 4 цуня латеральнее передней срединной линии.
- 27(12). ТИ: каротидный синус и общая сонная артерия.
 ЛТ: в надключичной ямке по сосковой линии.
- 28(11). ТИ: вилочковая железа.
 ЛТ: на внутреннем крае ключицы у наружного края грудино-ключично-сосцевидной мышцы.
- 29(10). ТИ: щитовидная железа.
 ЛТ: у внутреннего края грудино-ключично-сосцевидной мышцы на уровне нижнего края щитовидного хряща.
- 30(9). ТИ: паращитовидная железа.
 ЛТ: у внутреннего (переднего) края грудино-ключич-

- но-сосцевидной мышцы на уровне верхнего края щитовидного хряща.
- 31(8). ОСТИ: боковая поверхность нижней челюсти, 5—8 зубы.
ЛТ: в лобном углу на 1,5 см вглубь от волосистой границы к височной впадине, в месте соединения лобной и теменной костей.
- 32(7). ОСТИ: боковая поверхность верхней челюсти, 5—8 зубы.
ЛТ: у нижнего края дуги скуловой кости на уровне середины жевательной бугристости нижней челюсти.
- 33(6). ТИ: 6 и 7 зубы верхней челюсти.
ЛТ: на середине жевательной бугристости нижней челюсти.
- 34(5). ТИ: гайморова пазуха.
ЛТ: на 1,3 цуня кпереди и книзу угла нижней челюсти.
- 35(4). ТИ: хрусталик глаза.
ЛТ: на 0,4 цуня латеральнее угла рта.
- 36(3). ТИ: околоушная слюнная железа
ЛТ: в точке пересечения линии, идущей от центра зрачка, и линии, идущей от нижнего края крыла носа.
- 37(2). ТИ: височно-нижнечелюстной сустав.
ЛТ: в нижнеорбитальном отверстии.
См. рис. 26, 27, 28.

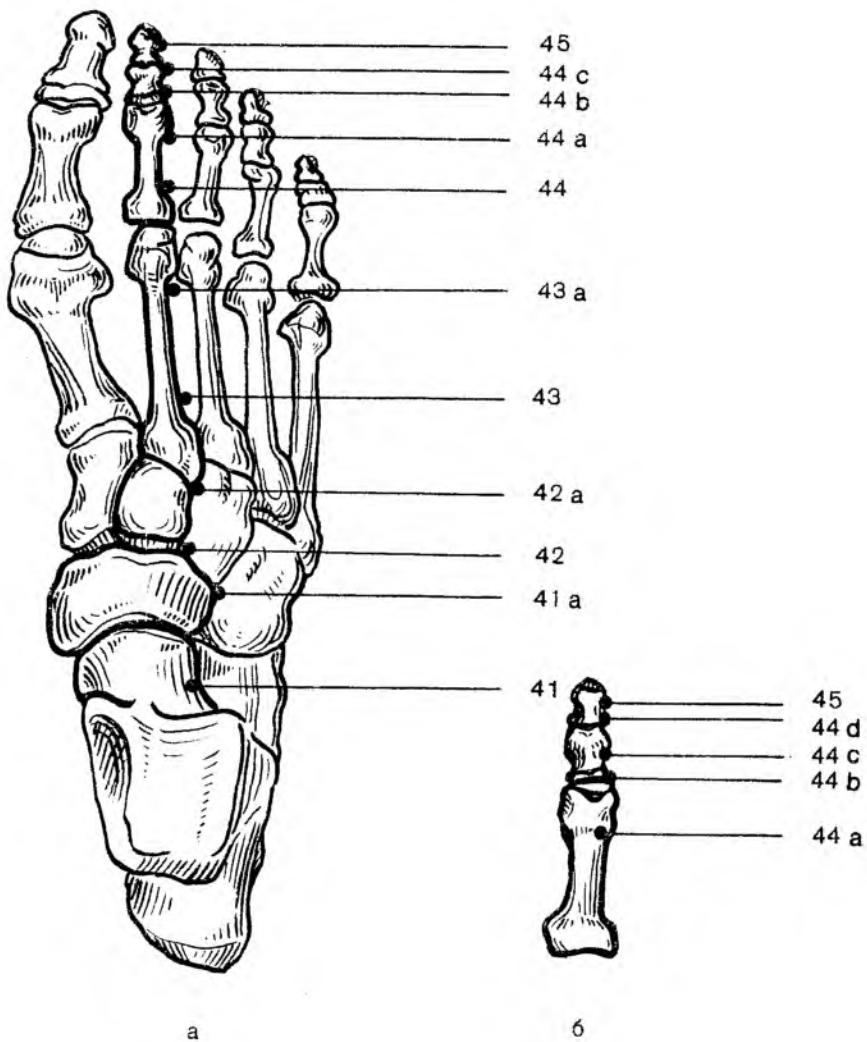


Рис. 26. Локализация точек меридиана желудка на тыльной поверхности правой стопы (а) и на тыльно-латеральной поверхности 2 пальца (б).

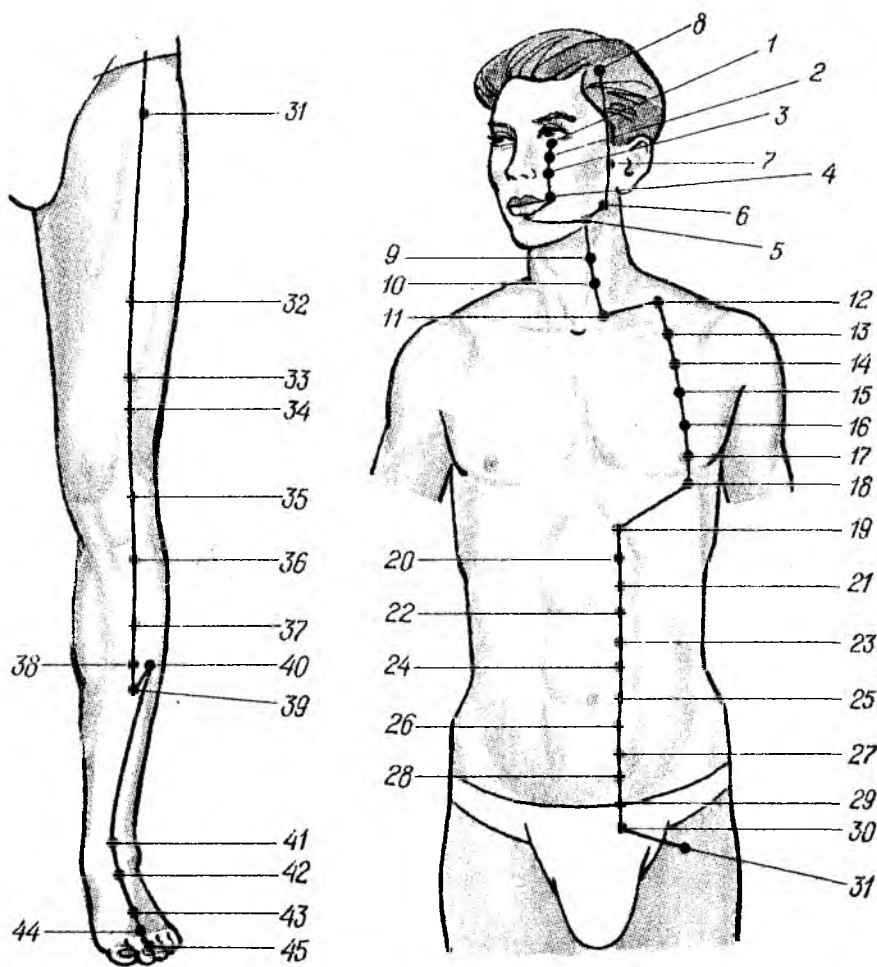


Рис. 27. Локализация точек меридиана желудка на ноге.

Рис. 28. Локализация точек меридиана желудка на передней поверхности туловища и лице.

Меридиан соединительно-тканной дегенерации

- 1(1). ТИ: СТГ органов брюшной полости и малого таза.
 ЛТ: на тыльно-медиальной поверхности бугристости дистальной фаланги 3 пальца стопы.
- 2(1в). КТИ: СТГ тела (для диагностики доброкачественных опухолей из соединительной ткани: фибромы, фибромиомы и т. д.).
 ЛТ: у основания медиальной фаланги 3 пальца стопы на тыльно-медиальной поверхности.
- 3(1с). КТИ: дегенерация слизистых оболочек (для диагностики папиллом, полипов и т. п.).
 ЛТ: на тыльно-медиальной поверхности проксимальной фаланги 3 пальца стопы в месте перехода головки в тело.
- 4(2). ТИ: СТГ органов грудной клетки и шеи.
 ЛТ: на тыльно-медиальной поверхности проксимальной фаланги 3 пальца стопы в месте перехода тела в основание.
- 5(3). ТИ: СТГ органов головы.
 ЛТ: на тыльно-медиальной поверхности 3 плюсневой кости в месте перехода головки в тело.
 См. рис. 29.

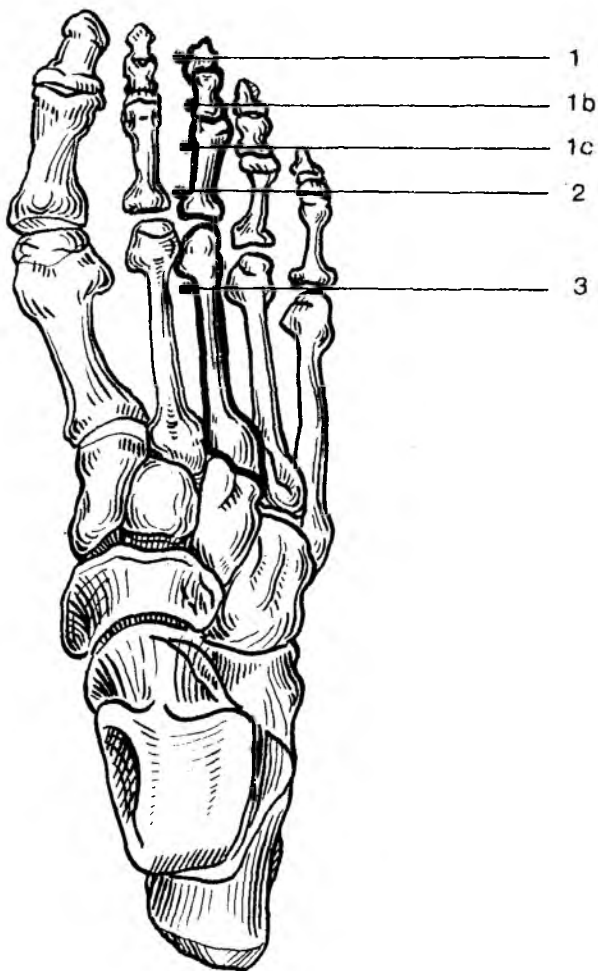


Рис. 29. Локализация точек меридиана соединительно-тканной дегенерации на тыльно-медиальной поверхности 3 пальца стопы.

Меридиан кожи

- 1(1). ТИ: кожа нижней части туловища и нижних конечностей.
 ЛТ: на тыльно-латеральной поверхности бугристости дистальной фаланги 3 пальца стопы.
- 2(1-1). ТИ: лимфатические сосуды кожи.
 ЛТ: у основания дистальной фаланги 3 пальца стопы на тыльно-латеральной поверхности.
- 3(1-3). КТИ: кожа.
 ЛТ: у основания медиальной фаланги 3 пальца стопы на тыльно-латеральной поверхности.
- 4(1a). ТИ: рубцовые изменения кожи.
 ЛТ: на тыльно-латеральной поверхности проксимальной фаланги 3 пальца стопы в месте перехода головки в тело.
- 5(2). ТИ: кожа верхней части туловища, включая руку (до запястья), затылок и шею.
 ЛТ: на тыльно-латеральной поверхности 3 плюсневой кости в месте перехода головки в тело.
- 6(3). ТИ: кожа головы, включая волосяные фолликулы.
 ЛТ: на тыльно-латеральной поверхности 3 плюсневой кости в месте перехода тела в основание.
 См. рис. 30.

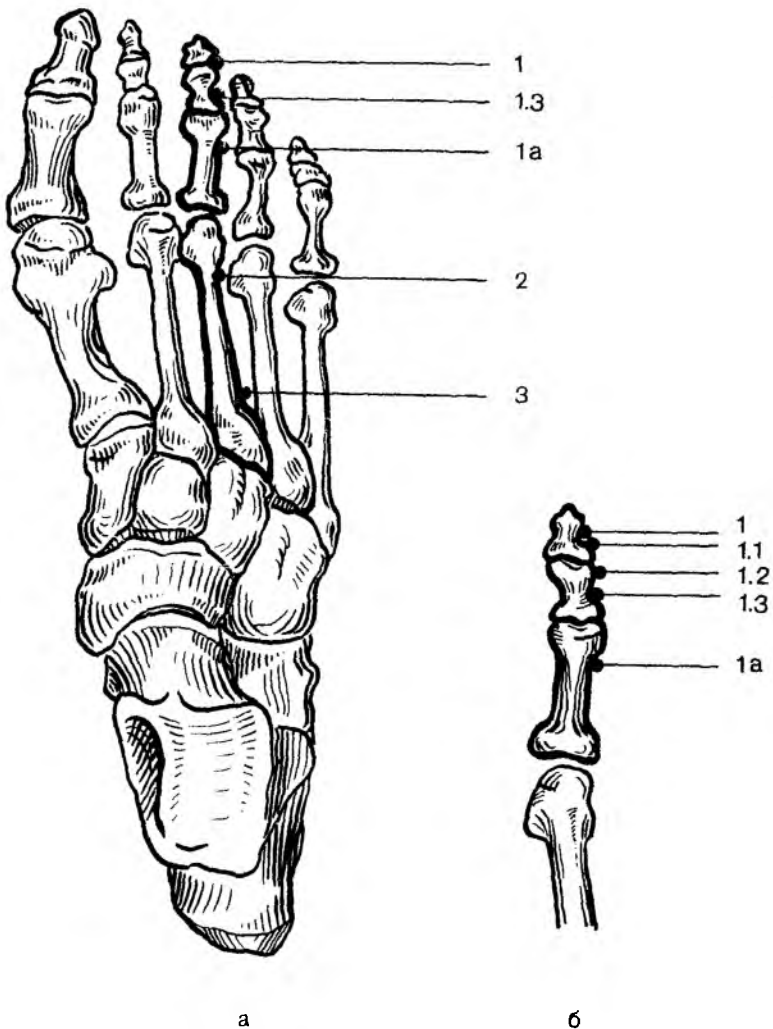


Рис. 30. Локализация точек меридиана кожи на тыльной поверхности правой стопы (а) и на тыльно-латеральной поверхности 3 пальца (б).

Меридиан жировой дегенерации.

- 1(1). ТИ: ЖД органов и сосудов брюшной полости (жировая дистрофия печени, липоидный нефроз, липоматоз поджелудочной железы).
 ЛТ: на тыльно-медиальной поверхности бугристости дистальной фаланги 4 пальца стопы.
- 2(1в). КТИ: ЖД тела.
 ЛТ: у основания медиальной фаланги 4 пальца стопы на тыльно-медиальной поверхности.
- 3(2). ТИ: ЖД органов и сосудов грудной полости (жировая дистрофия миокарда, атеросклероз венечных сосудов сердца, аорты и т. д.).
 ЛТ: у основания проксимальной фаланги 4 пальца стопы на тыльно-медиальной поверхности.
- 4(3). ТИ: ЖД органов и сосудов головы (церебросклероз, размягчение головного мозга).
 ЛТ: на тыльно-медиальной поверхности 4 плюсневой кости в месте перехода головки в тело.
 См. рис. 31.

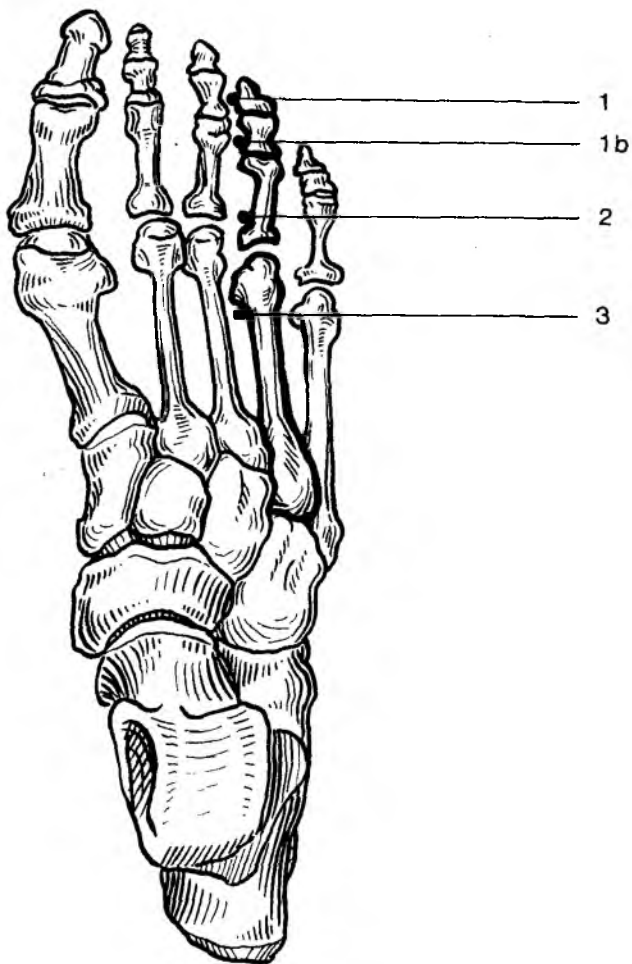


Рис. 31. Локализация точек меридиана жировой дегенерации на тыльно-медиальной поверхности 4 пальца стопы.

Меридиан желчного пузыря

- 1(44). ТИ: желчный проток — справа.
ТИ: общий печеночный проток — слева.
ЛТ: на тыльно-латеральной поверхности бугристости дистальной фаланги 4 пальца стопы.
- 2(43d). ТИ: лимфатические сосуды желчного пузыря и желчевыводящих путей.
ЛТ: у основания дистальной фаланги 4 пальца стопы на тыльно-латеральной поверхности.
- 3(43c). ТИ: печеночное сплетение.
Образовано ветвями солнечного сплетения. Иннервирует печень и ее сосуды.
ЛТ: на тыльно-латеральной поверхности медиальной фаланги 4 пальца стопы в месте перехода головки в тело.
- 4(43в). КТИ: желчный пузырь и желчевыводящие пути.
ЛТ: у основания медиальной фаланги 4 пальца стопы на тыльно-латеральной поверхности.
- 5(43a). ТИ: брюшина желчного пузыря.
ЛТ: на тыльно-латеральной поверхности проксимальной фаланги 4 пальца стопы в месте перехода головки в тело.
- 6(43). ТИ: пузырный проток — справа.
ТИ: правый печеночный проток — слева.
ЛТ: у основания проксимальной фаланги 4 пальца стопы на тыльно-латеральной поверхности.
- 7(42). ТИ: желчный пузырь — справа.
ТИ: левый печеночный проток — слева.
ЛТ: на тыльно-латеральной поверхности 4 плюсневой кости в месте перехода головки в тело.
- 8(41). ТИ: желчные протоки правой и левой долей печени.
ЛТ: на тыльно-латеральной поверхности 4 плюсневой кости в месте перехода тела в основание.
- 9(39). ТИ: костный мозг.
ЛТ: на три пропорциональных деления выше наружной лодыжки на задней поверхности малоберцовой кости.
- 10(34). ОСТИ: мышцы нижних челюстей.
ЛТ: в углублении, спереди и книзу головки малоберцовой кости.
- 11(33). ОСТИ: суставы нижних конечностей.
ЛТ: в углублении над латеральным мышцелком берцовой кости.

- 12(29). ТИ: тазобедренный сустав.
ЛТ: между передней верхней остью подвздошной кости и большим вертелом.
- 13(21). ТИ: передняя доля гипофиза (аденогипофиз).
ЛТ: между средней точкой ключицы и верхним краем лопатки.
- 14(20). ОСТИ: симпатическая нервная система.
ЛТ: во впадине у нижнего края сосцевидного отростка между местами прикрепления грудино-ключично-сосцевидной и трапецевидной мышц.
- 15(19). ТИ: ножки мозга.
ЛТ: на середине расстояния между затылочным бугром и верхним краем сосцевидного отростка.
- 16(17). ТИ: ретикулярная формация.
ЛТ: в месте пересечения второй боковой линии головы и перпендикуляра, проходящего у переднего края ушной раковины.
- 17(16). ТИ: центр сна среднего мозга.
ЛТ: на второй боковой линии головы кпереди на 2 цуня т. и. ретикулярной формации.
- 18(12). ТИ: задняя доля гипофиза (нейрогипофиз).
Состоит из нейроглиальных клеток, нервных волокон, идущих от нейросекреторных ядер гипоталамуса, и нейросекреторных телец. Окситоцин и вазопрессин, продуцируемые гипоталамусом транспортируются к клеткам задней доли гипофиза, откуда поступают в кровь.
ЛТ: у середины нижнего края сосцевидного отростка.
- 19(11). ТИ: центр ритм сон-бодрствование в среднем мозге.
ЛТ: на середине верхнего края сосцевидного отростка.
- 20(9). ОСТИ: средний мозг.
Состоит из крыши и ножек мозга. Верхние холмики крыши (четверохолмия) и латеральные коленчатые тела выполняют функцию подкорковых зрительных центров. Нижние холмики и медиальные коленчатые тела являются подкорковыми слуховыми центрами. На медиальной поверхности ножек расположена глазодвигательная борозда, из которой выходят корешки глазодвигательного нерва.
ЛТ: в месте пересечения третьей боковой линии головы и перпендикуляра, проходящего у заднего края ушной раковины.
- 21(7). ОСТИ: промежуточный мозг.
Серое вещество промежуточного мозга составляют ядра, относящиеся к подкорковым центрам

всех видов чувствительности. В промежуточном мозге расположены ретикулярная формация, центры экстрапирамидной системы, вегетативные центры, регулирующие все виды обмена веществ, и нейросекреторные ядра. Белое вещество представлено проводящими путями восходящего и нисходящего направлений, обеспечивающих двустороннюю связь подкорковых образований с корой большого мозга и ядрами спинного мозга. К промежуточному мозгу относятся: таламическая область (зрительный мозг), гипоталамус, третий желудочек, гипофиз и эпифиз.

- ЛТ: на височной кости у верхушки раковины на границе волосистой части головы.
- 22(4). ТИ: таламус (зрительный бугор).
В таламусе выделяют до 40 ядер, которые разделены тонкими прослойками белого вещества. С ядрами вступают в контакт отростки нервных клеток вторых нейронов всех чувствительных путей (за исключением обонятельного, вкусового и слухового). Таламус является подкорковым чувствительным центром.
- ЛТ: на 0,5 см книзу и кзади места соединения лобной и теменной костей.
- 23(3). ТИ: тройничный нерв (V пара черепных нервов). Содержит двигательные и чувствительные волокна. Иннервирует кожу лица, лобной и височной областей, слизистую носа и околоносовых пазух, полости рта, языка, зубы, конъюнктиву глаза, твердую мозговую оболочку, жевательные мышцы, мышцы дна полости рта, мышцы, напрягающие небную занавеску и барабанную перепонку.
- ЛТ: у внутреннего края дуги скуловой кости.
- 24(1). ЧСТИ: задняя часть глаза (сетчатка и сосудистая оболочка).
- ЛТ: на 0,5 цуня латеральнее наружного угла глаза.
См. рис. 32, 33, 34.

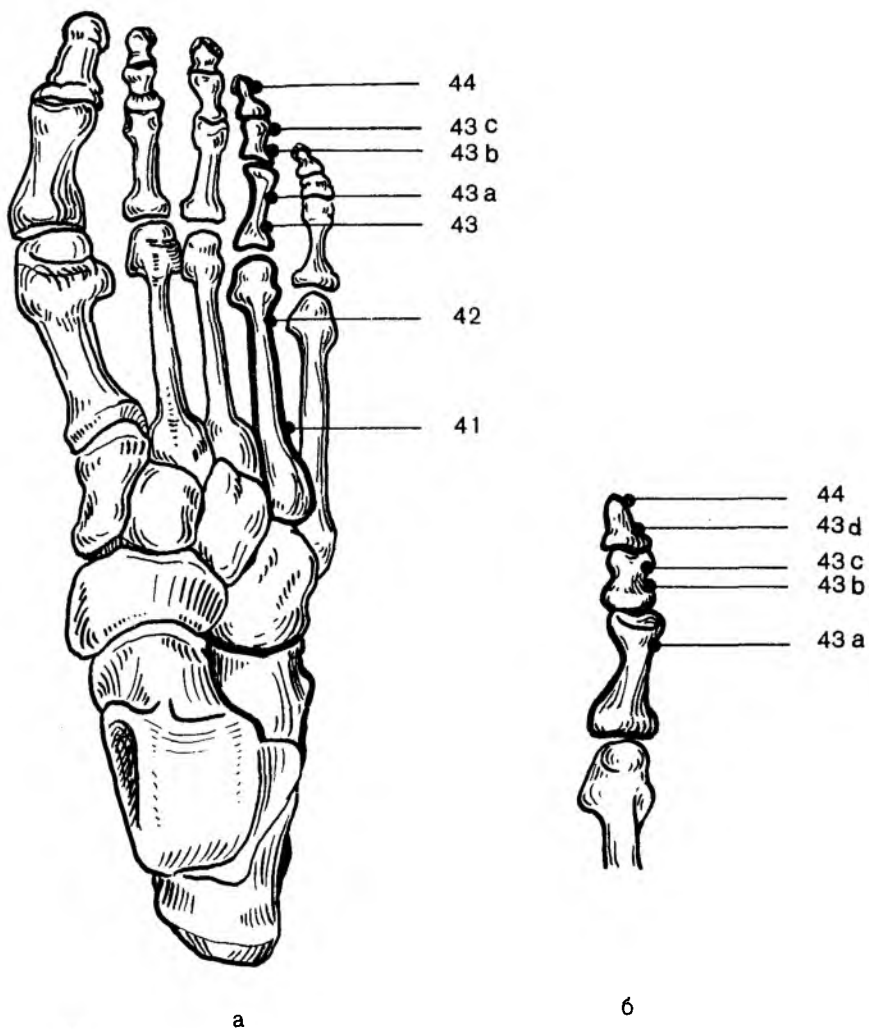


Рис. 32. Локализация точек меридиана желчного пузыря на тыльной поверхности правой стопы (а) и на тыльно-латеральной поверхности 4 пальца (б).

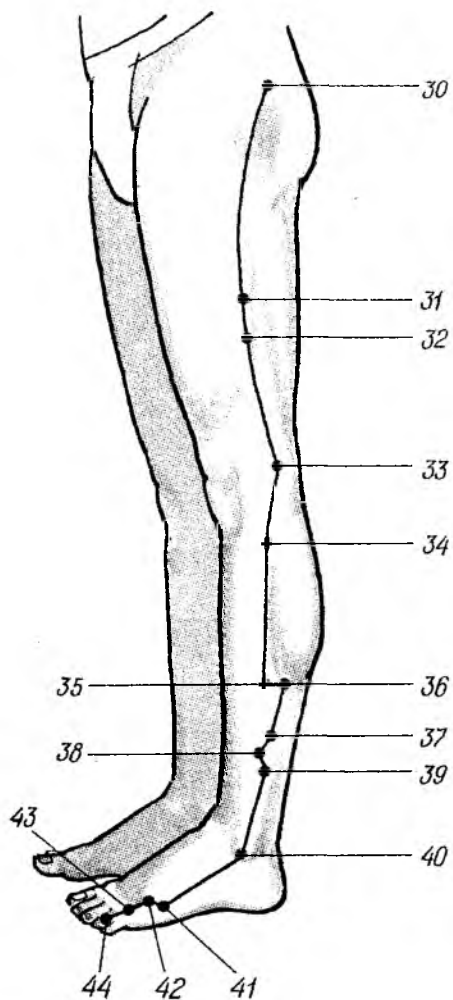


Рис. 33. Локализация точек меридиана желчного пузыря на ноге.

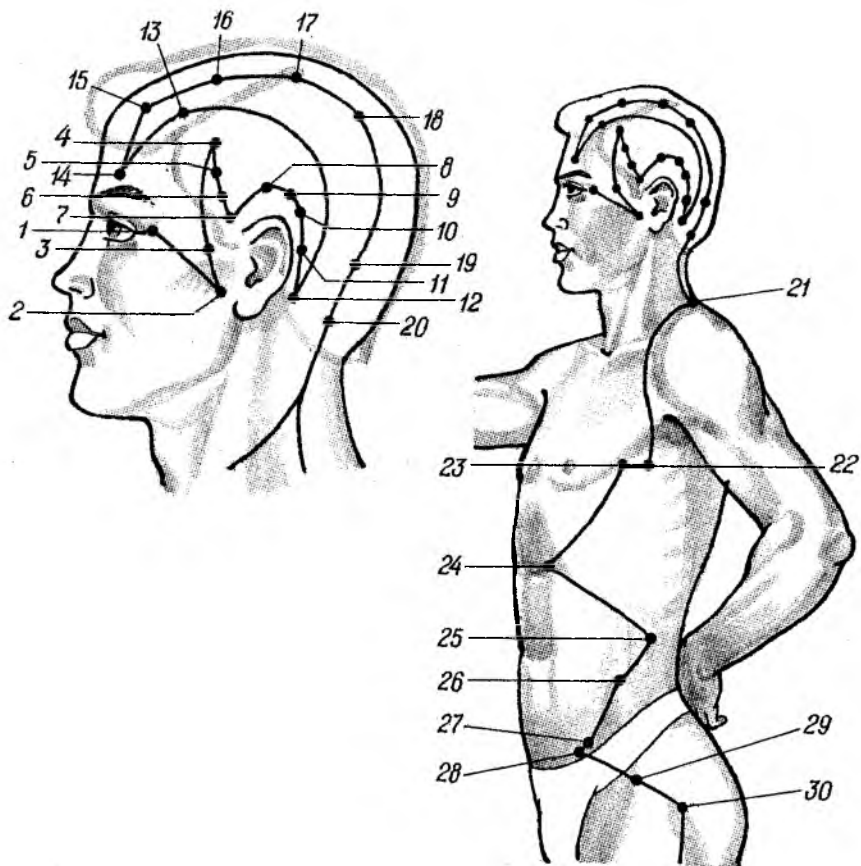


Рис. 34. Локализация точек меридиана желчного пузыря на голове (а) и на туловище (б).

Меридиан почек

- 1(1). ТИ: почечные лоханки.
 ЛТ: над бугристостью дистальной фаланги 5 пальца стопы на тыльно-медиальной поверхности.
- 2(1-1). ТИ: лимфатические сосуды почек и надпочечников.
 ЛТ: у основания дистальной фаланги 5 пальца стопы на тыльно-медиальной поверхности.
- 3(1-2). ТИ: почечное сплетение.
 Образовано ветвями солнечного сплетения, сплетения брюшного отдела аорты, почечными ветвями малых чревных нервов. Иннервирует почку и ее сосуды.
 ЛТ: на тыльно-медиальной поверхности медиальной фаланги 5 пальца стопы в месте перехода головки в тело.
- 4(1-3). КТИ: почки.
 ЛТ: на тыльно-медиальной поверхности медиальной фаланги 5 пальца стопы в месте перехода тела в основание.
- 5(1-4). ТИ: брюшина почек.
 ЛТ: на тыльно-медиальной поверхности проксимальной фаланги 5 пальца стопы в месте перехода головки в тело.
- 6(1a). ТИ: брюшина часть мочеточника.
 ЛТ: на тыльно-медиальной поверхности проксимальной фаланги 5 пальца стопы в месте перехода тела в основание.
- 7(1в). ТИ: надпочечниковое сплетение.
 Образовано ветвями почечного сплетения и почечными ветвями малых чревных нервов. Иннервирует надпочечник и его сосуды.
 ЛТ: на тыльно-медиальной поверхности 5 плюсневой кости в месте перехода головки в тело.
- 8(2). ТИ: пиелоренальная зона (пограничная пиелоренальная область).
 ЛТ: в большой ямке на передне-нижней поверхности ладьевидной кости.
- 9(2a). ТИ: мозговое вещество почек.
 ЛТ: на передне-внутренней поверхности пяточной кости в месте перехода бугра пяточной кости в тело.
- 10(3). ТИ: клубочки и канальцы почек.
 ЛТ: между медиальной лодыжкой и ахилловым сухожилием.

- 11(4). ТИ: среднее и нижнее прямокишечные сплетения. Образованы постганглионарными симпатическими волокнами, исходящими из нижнего подчревного сплетения, и крестцовыми внутренностными нервами. Иннервируют прямую кишку и задний проход.
ЛТ: во впадине на верхне-внутренней поверхности пяточной кости в месте перехода бугра в тело.
- 12(5). ТИ: анальный канал.
ЛТ: на внутренней поверхности бугра пяточной кости, кпереди прикрепления ахиллова сухожилия.
- 13(6). ТИ: прямая кишка.
ЛТ: непосредственно под медиальной лодыжкой во впадине у пяточно-таранного сочленения.
- 14(7). ТИ: кровь.
ЛТ: на 2 цуны выше верхнего края медиальной лодыжки.
- 15(19). ТИ: почечная ветвь блуждающего нерва.
ЛТ: на первой боковой линии живота на 4 цуны выше уровня пупка.
- 16(20). ТИ: чревные ветви блуждающего нерва.
ЛТ: на первой боковой линии живота на 5 цуней выше пупка.
- 17(21). ТИ: печеночные ветви блуждающего нерва.
ЛТ: на первой боковой линии живота на 6 цуней выше пупка.
- 18(27): ТИ: грудино-ключичный сустав.
ЛТ: у нижнего края ключицы на первой боковой линии груди.
См. рис. 35, 36, 37.

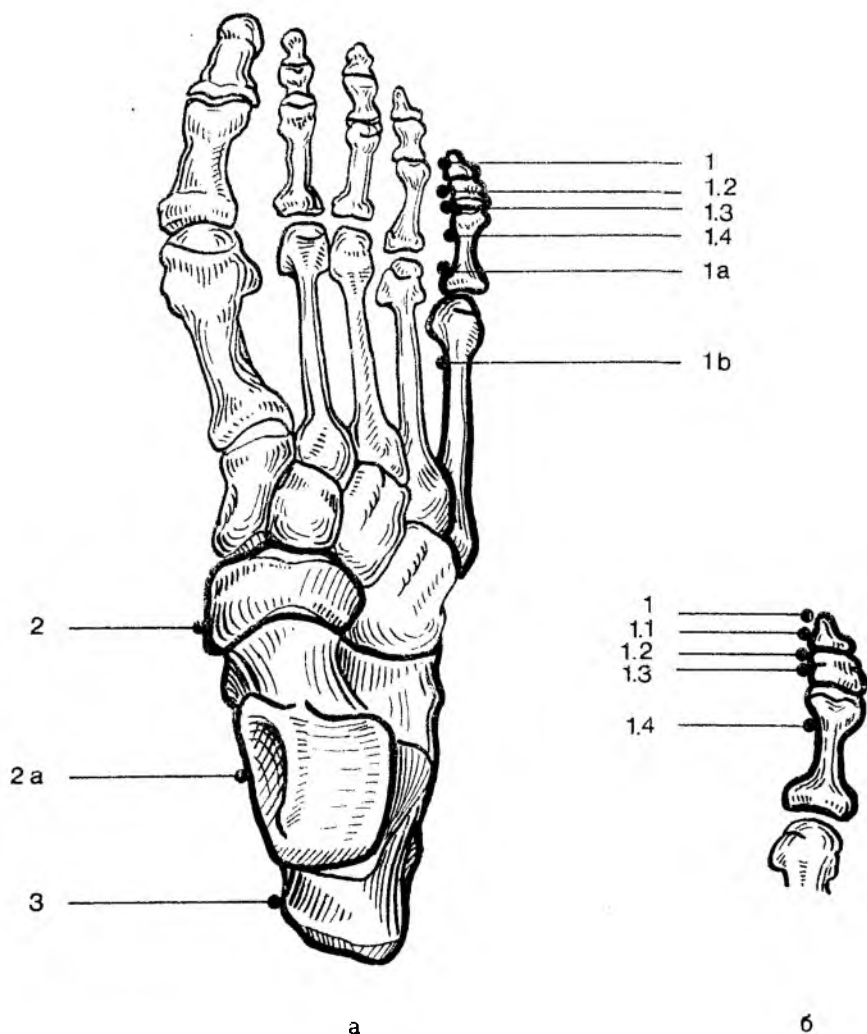


Рис. 35. Локализация точек меридиана почек на тыльно-медиальной поверхности 5 пальца и на тыльной поверхности правой стопы.

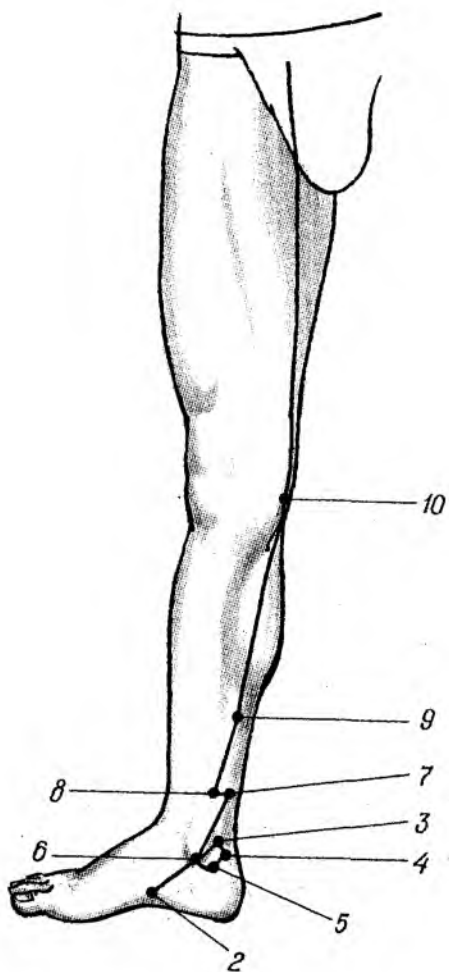


Рис. 36. Локализация точек меридиана почек на ноге.

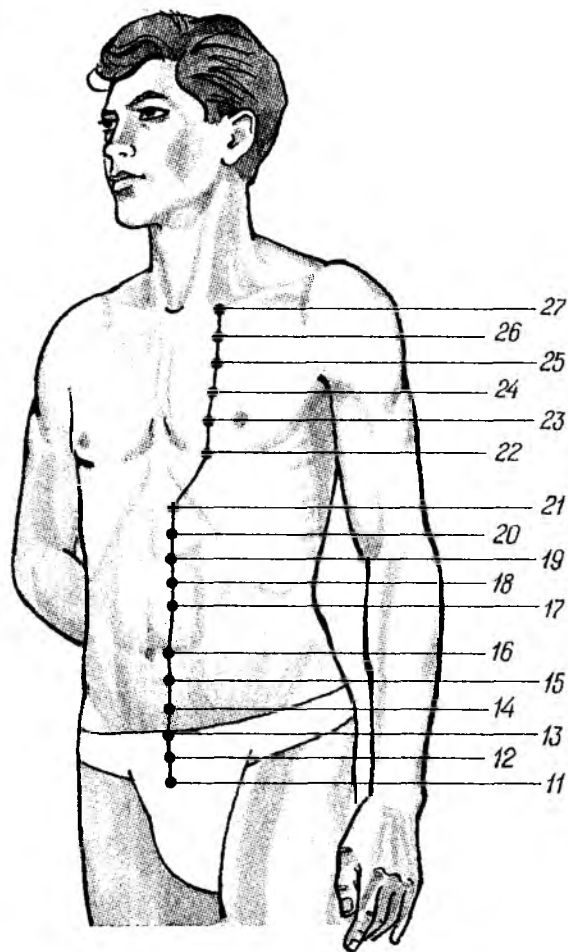


Рис. 37. Локализация точек меридиана почек на туловище.

Меридиан мочевого пузыря

- 1(67). ТИ: тело мочевого пузыря.
ЛТ: над бугристостью дистальной фаланги 5 пальца стопы на тыльно-латеральной поверхности.
- 2(66d). ТИ: лимфатические сосуды мочевого пузыря.
ЛТ: у основания дистальной фаланги 5 пальца стопы на тыльно-латеральной поверхности.
- 3(66с). ТИ: сплетение мочевого пузыря (пузырное сплетение).
Образовано ветвями средних прямокишечных нервов, предстательного сплетения и сплетения семявыносящего протока (ветви нижних поясничных и крестцовых узлов симпатического ствола).
ЛТ: на тыльно-латеральной поверхности медиальной фаланги 5 пальца стопы в месте перехода головки в тело.
- 4(66в). КТИ: мочевой пузырь и мочеполовые органы.
ЛТ: у основания медиальной фаланги 5 пальца стопы на тыльно-латеральной поверхности.
- 5(66а). ТИ: брюшина мочевого пузыря и мочеполовых органов.
ЛТ: на тыльно-латеральной поверхности проксимальной фаланги 5 пальца стопы в месте перехода головки в тело.
- 6(66). ТИ: мочепузырный треугольник (дно и офинктер мочевого пузыря).
ЛТ: у основания проксимальной фаланги 5 пальца стопы на тыльно-латеральной поверхности.
- 7(65). ЧСТИ: предстательная железа, семенной бугорок, семенной пузырек, половой член, уретра, широкая связка матки с параметрием, влагалище, матка.
ЛТ: на тыльно-латеральной поверхности 5 плюсневой кости в месте перехода головки в тело.
- 8(64). ЧСТИ: придаток яичка, семенной канатик, маточные трубы.
ЛТ: на тыльно-латеральной поверхности 5 плюсневой кости в месте перехода тела в основание.
- 9(63). ТИ: подвздошное и тазовое сплетение, вегетативные сплетения. Образованы ветвям внутренностных нервов от нижних поясничных и верхних крестцовых узлов симпатического ствола. Осуществляют иннервацию органов таза.
ЛТ: в углублении под латеральной лодыжкой, чуть кпереди.

- 10(62). ТИ: голеностопный сустав, задняя часть.
ЛТ: непосредственно под латеральной лодыжкой.
- 11(61). ТИ: поясничный и крестцовый отделы позвоночника, крестец.
ЛТ: в центре наружной поверхности пяточной кости во впадине.
- 12(60). ТИ: нервы нижних конечностей.
ЛТ: у заднего края латеральной лодыжки, между ахилловым сухожилием и лодыжкой.
- 13(54). ТИ: коленный сустав, задняя часть.
ЛТ: на второй боковой линии спины на уровне входа в крестцовый канал.
- 14(52). ТИ: передняя часть уретры.
ЛТ: на второй боковой линии спины между остистыми отростками II и III поясничных позвонков.
- 15(1). ТИ: половой член или влагалище
ЛТ: на второй боковой линии спины между остистыми отростками I и II поясничных позвонков.
- 16(50). ТИ: боковая доля предстательной железы или тело матки.
ЛТ: на второй боковой линии спины между остистыми отростками XII грудного и I поясничного позвонков.
- 17(49). ТИ: предстательное, маточновагинальное сплетение и сплетение семявыносящего протока.
ЛТ: на второй боковой линии спины между остистыми отростками XI и XII грудных позвонков.
- 18(35). ТИ: парасимпатические преганглионарные волокна крестцовой области.
ЛТ: у верхнего края копчика.
- 19(34). ТИ: тазовое сплетение парасимпатической нервной системы.
ЛТ: над четвертым отверстием крестца.
- 20(33). ОСТИ: тазовый отдел симпатического ствола.
ЛТ: в проекции третьего отверстия крестца.
- 21(32). ТИ: тазовые внутренностные нервы. Происходят из крестцовых сегментов спинного мозга, осуществляют парасимпатическую иннервацию толстой кишки, мочеполовых органов, расположенных в полости малого таза, и наружных половых органов.
ЛТ: в проекции второго отверстия крестца.
- 22(29). ТИ: грудной отдел позвоночника.
ЛТ: на первой боковой линии спины между остистыми отростками III и IV крестцовых позвонков.
- 23(27). ТИ: крестцово-подвздошное сочленение.

- ЛТ: на первой боковой линии спины между остистыми отростками I и II крестцовых позвонков.
- 24(24). ОСТИ: поясничный отдел симпатического ствола.
ЛТ: на первой боковой линии спины между остистыми отростками III и IV поясничных позвонков.
- 25(17). ТИ: диафрагма.
ЛТ: на первой боковой линии спины между остистыми отростками VII и VIII грудных позвонков.
- 26(16). ОСТИ: грудной отдел симпатического ствола.
ЛТ: на первой боковой линии спины между остистыми отростками VI и VII грудных позвонков.
- 27(12). ОСТИ: костная система.
ЛТ: на первой боковой линии спины между остистыми отростками II и III грудных позвонков.
- 28(11). ОСТИ: позвоночник.
ЛТ: на первой боковой линии спины между остистыми отростками I и II грудных позвонков.
- 29(10). ТИ: продолговатый мозг.
ЛТ: на границе волосистой части головы и задней поверхности шеи во впадине, у наружного края трапециевидной мышцы.
- 30(9). ТИ: Воролиев мост.
ЛТ: у верхнего края бугра затылочной кости, на 1, 3 цуня латеральнее срединной линии, на уровне верхнего края ушной раковины.
- 31(8). ТИ: эпифиз.
ЛТ: на первой боковой линии головы на 2 цуня выше горизонтальной линии верхнего края ушной раковины.
- 32(2). ТИ: лобная пазуха.
ЛТ: на медиальном конце брови.
См. рис. 38, 39, 40.

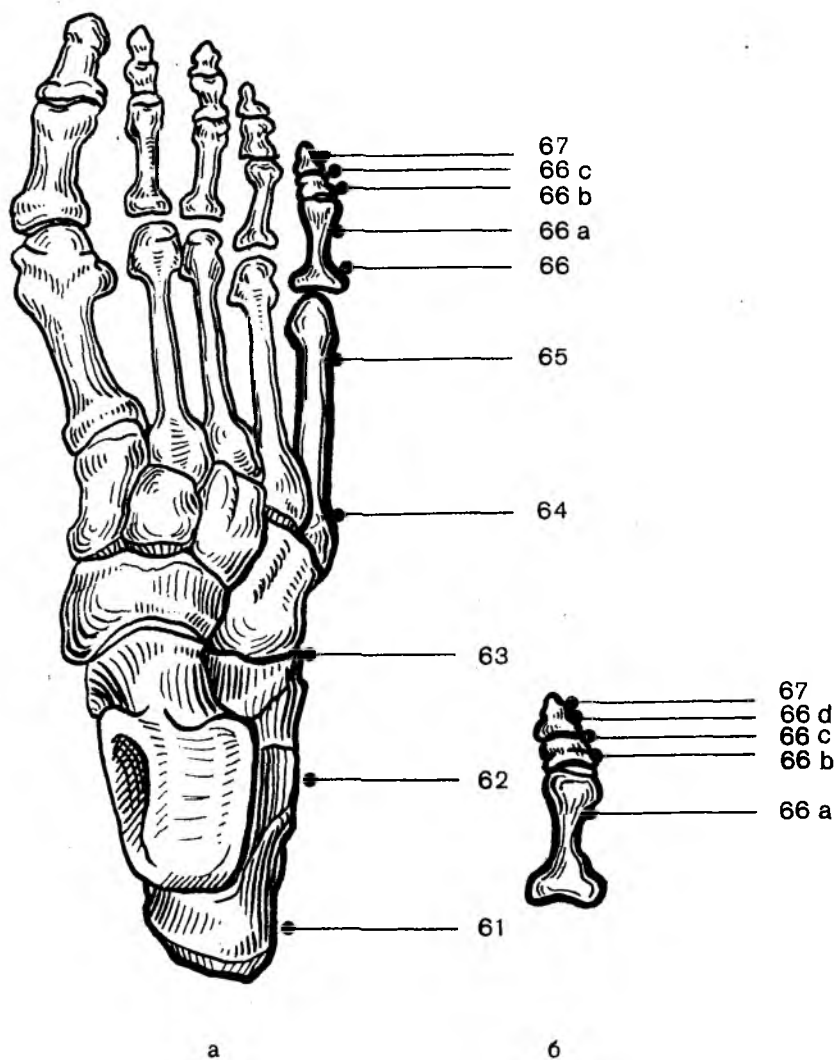


Рис. 38. Локализация точек меридиана мочевого пузыря на тыльной поверхности правой стопы (а) и на тыльно-латеральной поверхности 5 пальца (б).

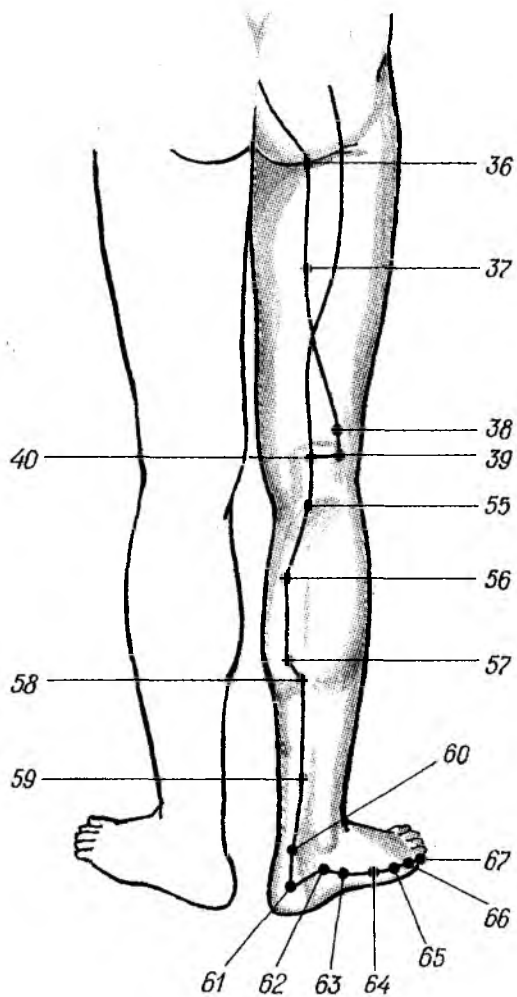


Рис. 39. Локализация точек меридиана мочевого пузыря на ноге.

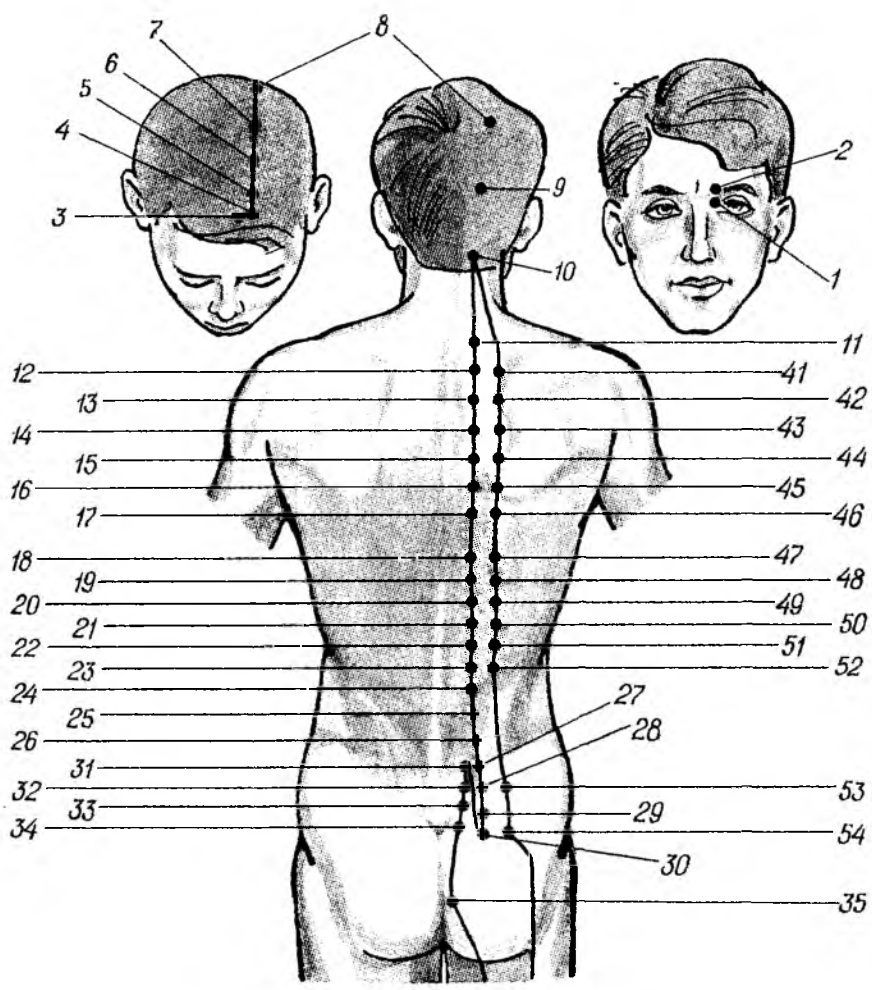


Рис. 40. Локализация точек меридиана мочевого пузыря на туловище и голове.

Передне-срединный меридиан

- 1(3). Т: тревоги мочевого пузыря.
ЛТ: на 4 цуня ниже пупка.
- 2(4). Т: тревоги тонкой кишки.
ЛТ: на 3 цуня ниже пупка.
- 3(5). Т: тревоги эндокринной системы.
ЛТ: на 2 цуня ниже пупка.
- 4(12). Т: тревоги желудка.
ЛТ: на 4 цуня выше пупка.
- 5(14). Т: тревоги сердца.
ЛТ: на 6 цуней выше пупка.
- 6(17). ТИ: бронхи.
ЛТ: на уровне 4-го межреберья.
- 7(19). ТИ: трахея.
ЛТ: на уровне 2-го межреберья.
- 8(21). ТИ: гортань.
ЛТ: в центре рукоятки грудины, во впадине, на уровне суставной вырезки 1-го ребра.
См. рис. 41.

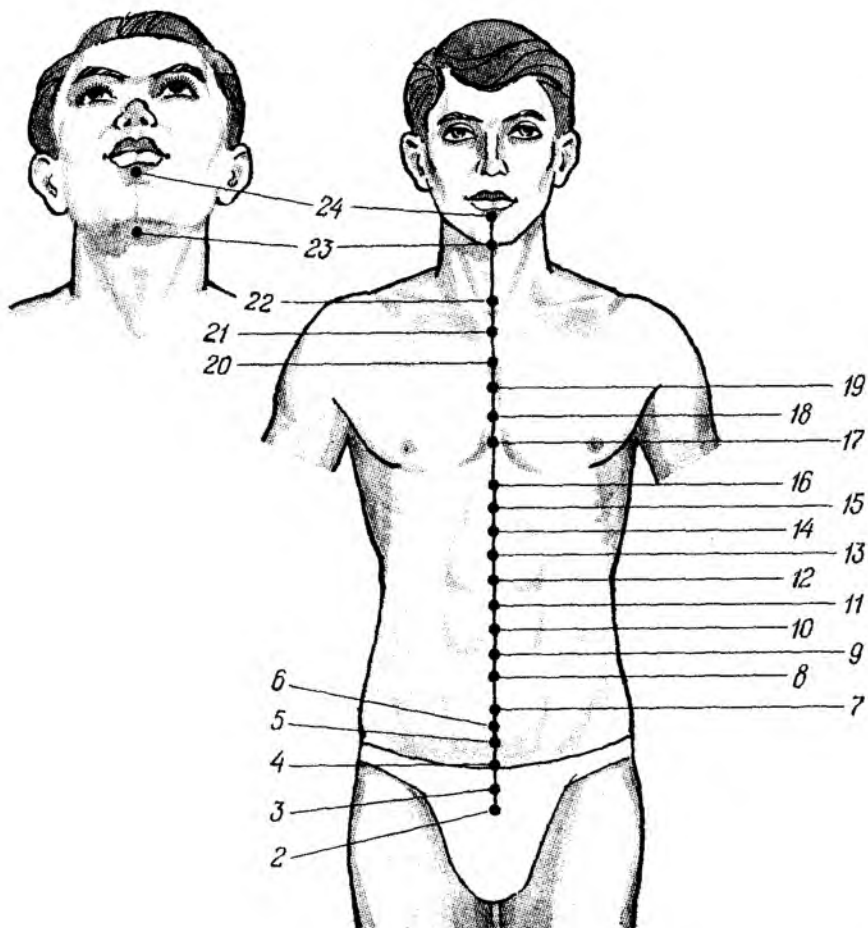


Рис. 41. Локализация точек передне-срединного меридиана.

Задне-срединный меридиан

- 1(13). ОСТИ: спинной мозг.
ЛТ: Между остистыми отростками 1 — 2 грудных позвонков.
- 2(17). ТИ: Пластинка крыши четверохолмия (центр тимической психики).
ЛТ: на середине верхнего края затылочного бугра.
- 3(19). ТИ: передняя часть мозжечка.
ЛТ: на 3 цуня выше ТИ 17, на заднем участке стреловидного шва.
- 4(20). ТИ: самая высокая точка черепа.
- 5(21). ТИ: миндалевидное тело (лимбическая система).
ЛТ: на 6 цуней выше переносицы.
- 6(22). ТИ: опоясывающая извилина (лимбическая система).
ЛТ: на 2 цуня кзади от передней границы роста волос.
- 7(23). ТИ: гиппокамп.
ЛТ: на 1 цунь кзади от передней границы роста волос.
- 8(25). ОСТИ: середина верхней челюсти, 1 — 4 зубы.
ЛТ: в центре кончика носа.
См. рис. 42.

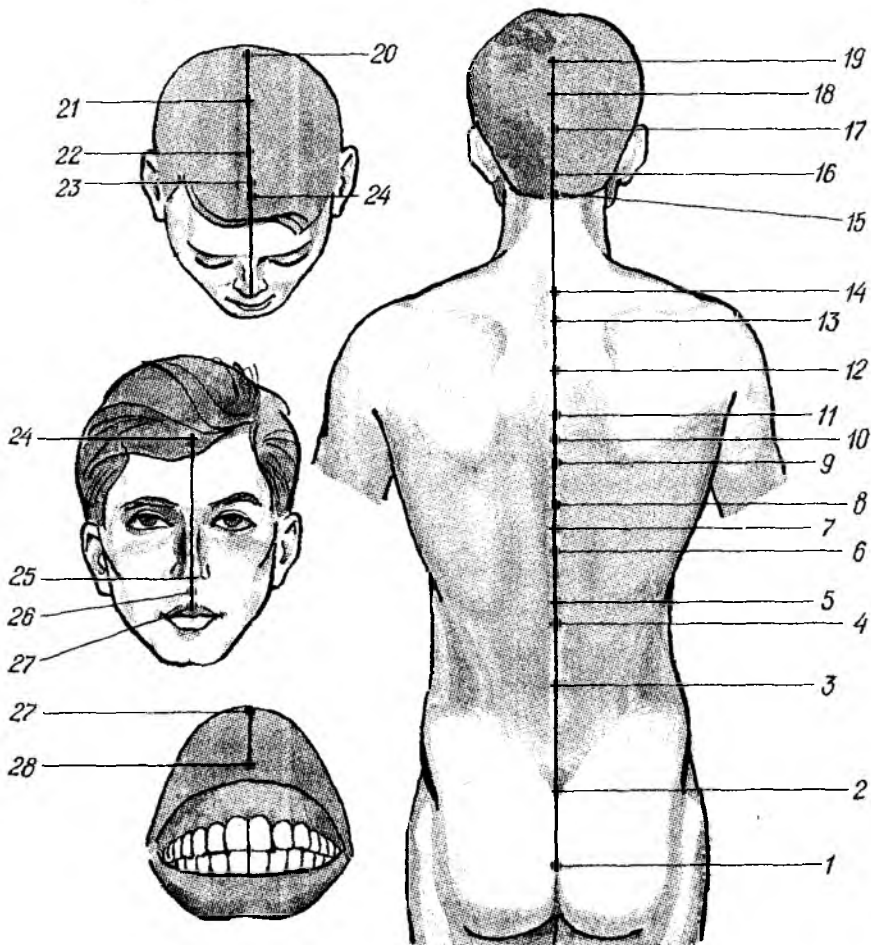


Рис. 42. Локализация точек задне-срединного меридиана.

Систематизация точек для ЭАФ по их функциональному значению

1. Центральная нервная система: МНД1, МНДИ1в, МНД2, МНДИ1с, МНД3, МЭС19, МЭС20, МЖП19, МЖП17, МЖП16, МЖП12, МЖП21, МЖП7, МЖП4, МЖП10, МЖП9, МЖП8, ЗСМ13, ЗСМ17, ЗСМ19, ЗСМ21, ЗСМ22, ЗСМ23.
2. Симпатическая нервная система: МЛ9а, МТолК1а, МНД1а, МКО8е, МКО8с, МКО7а, МА1а, МЭПД1а, МЭС6, МЭС1а, МЛ10д, МС8е, МТонК1а, МЖ44с, МЖ22, МЖ12, МЖП43с, МЖП20, МПоч1.2, МПоч1в, МПоч4, ММП66с, ММП49, ММП33, ММП27, ММП24, ММП16.
3. Парасимпатическая нервная система: МЛ9а, МТолК1а, МНД1а, МНД3а, МКО8е, МКО8с, МКО7а, МА1а, МЭПД1а, МЛ10д, МС8е, МТонК1а, МТонК16, МЭС22, МЖ44с, МЖ21, МЖ20, МЖ19, МЖ18, МЖ16, МЖ15, МЖ12, МЖП43с, МПоч1.2, МПоч1в, МПоч4, МПоч20, МПоч19, МПоч21, ММП49, ММП35, ММП34, ММП32, ММП27.
4. Черепно-мозговые нервы и ганглии головы: МНД1в, МНД3а, МНД4, МЭС22, МТонК18, МЖ21, МЖ20, МЖ19, МЖ18, МЖ16, МЖ15, МЖП3, МПоч19, МПоч20, МПоч21.
5. Периферические нервы: МНД1в, МНД4, МТонК7, ММП60.
6. Нейроэндокринная система: ЛМ9, МА1, МА1в, МА2, МЭС1, МЭС1.1, МЭС1в, МЭС1с, МЭС2, МЭС3, МЭС16, МЭС20, МТонК15, МСПЖ11, МПеч11, МЖ31, МЖ10, МЖ9, МЖП21, МЖП2, МЖП7, ММП8, ПСМ5.
7. Железы внутренней секреции: ЛМ9, МА1, МА1в, МА2, МЭС1, МЭС1.1, МЭС1в, МЭС1с, МЭС2, МЭС3, МЭС1а, МСПЖ1а, МСПЖ1в, МСПЖ11, МСПЖ12, МПеч11, МЖ31, МЖ10, МЖ9, МПоч1.1, МПоч1в, ММП65, ММП64, ММП50, ПСМ5.
8. Грудные железы: МА2, МЛ10д, МЭС1д, МЖ17, МЖ42.
9. Миндалины и ЛОР-органы: ЛМ1, МТолК18, МТолК19, МТолК20, МА3, МЭПД3, МЭПД6, МЭС1а, МЭС22, МСТД3, МЖД3, МЖП3.
10. Зрительный анализатор: ЛМ2а, МА3, МЭС21, МНД3а, МЭС1а, МЖ4, МЖП9, МЖП3, МЖП1.
11. Слуховой анализатор: ЛМ1.1, МЭС17, МЭС18, МТонК16, МНД3а, МЭС1а, МЭС22, МТонК18, МТонК19, МЖ3, МЖП9, МЖП3.
12. Верхние дыхательные пути и бронхолегочная система: ЛМ3, ЛМ4, ЛМ4в, МЛ11, МЛ10д, МЛ10с, МЛ10в, МЛ10а, МЛ10, МЛ9а, МЛ9, МЛ8в, МЛ8а, МТолК17, МТолК18, МТолК19,

- МТолК20, МА2, МА1в, МЭПД1в, МЭПД1d, МЭПД2, МЭПД5, МЛ10d, МЭС1а, МЭС22, МСПЖ1, МСПЖ19, МСПЖ20, МЖ18, МЖ16, МСТД2, МСТД3, МЖД1в, МЖД2, ММП16, ММП17, ММП19, ММП21.
13. Сердечно-сосудистая система: ЛМ5, МЛ8, МЛ7, МКО9, МКО8f, МКО8e, МКО8d, МКО8с, МКО8, МКО7а, МКО7, МА1, МА1.1, МА1в, МА1с, МА2, МА3, МЛ10d, МС9, МС8f, МС8e, МС8d, МС8с, МС8в, МС8а, МС8, МС7а, МС7, МС6а, МС6, МЭС1а, МЭС22, МСПЖ3, МСПЖ4, МСПЖ6, МСПЖ10, МПеч1, МПеч5, МПеч7, МЖ33, МЖ33, МЖ16, МЖ12, МЖД1в, МЖД2, МЖП12, МПоч1.3, МПоч2а, МПоч7, РСМ14.
 14. Лимфатическая система: ЛМ1, ЛМ1.1, ЛМ1.2, ЛМ1а, ЛМ2, ЛМ2а, ЛМ3, ЛМ4, ЛМ4а, ЛМ4в, ЛМ5, ЛМ6, ЛМ7, ЛМ8, ЛМ9, ЛМ10, ЛМ11, ЛМ12, ЛМ13, ЛМ14, МТолК1.1, МТолК4а, МТолК17, МТолК18, МКО8f, МКО8в, МКО8а, МКО7в, МА1.1, МЭПД1.1, МС8f, МС8d, МС8а, МТонК1.1, МСПЖ1а, МСПЖ1в, МСПЖ2, МСПЖ3, МСПЖ4, МСПЖ9, МСПЖ12, МСПЖ13, МСПЖ14, МСПЖ15, МСПЖ16, МСПЖ17, МСПЖ18, МСПЖ19, МСПЖ20, МСПЖ21, МПеч14, МЖ44d, МК1.1, МЖП43d, МПоч1.1, ММП66d.
 15. Желудочно-кишечный тракт: ЛМ4а, ЛМ7, ЛМ8, ЛМ12, МТолК1, МТол1.1, МТолК1а, МТолК1в, МТолК1с, МТолК2, МТолК3, МТолК3а, МТолК4, МТолК4а, МА1, МА3, МА1в, МЭПД1, МЭПД1в, МЭПД1с, МЭПД4, МЭС1с, МТонК1, МТонК1.1, МТонК1а, МТонК1в, МТонК1с, МТонК2, МТонК3, МТонК3а, МТонК4, МНД3а, МЭС1а, МЭС22, МСПЖ1, МСПЖ1а, МСПЖ1в, МСПЖ2, МСПЖ3, МСПЖ4, МСПЖ15, МСПЖ16, МСПЖ17, МПеч2а, МПеч10, МЖ45, МЖ44d, МЖ44с, МЖ44в, МЖ44а, МЖ44, МЖ43а, МЖ43, МЖ42а, МЖ42, МЖ33, МЖ22, МЖ21, МЖ20, МЖ16, МЖ15, МЖ14, МЖ13, МЖ3, МСТД1, МСТД1в, МСТД1с, МЖД1, МЖД1в, МЖП44, МЖП43в, МЖП43, МЖП42, МПоч4, МПоч5, МПоч6, МПоч20, ММП35, ММП34, ММП33, ММП32, ММП27, ММП24, ММП17, ММП16, РСМ4, РСМ12.
 16. Гепатобилиарная система: ЛМ13, МТолК1а, МА1, МА1в, МЭПД1, МЭПД1в, МЭПД1с, МЭПД4, ЛМ12, МСПЖ2, МСПЖ4, МСПЖ14, МСПЖ18, МПеч1, МПеч1а, МПеч1в, МПеч2, МПеч2а, МПеч3, МПеч14, МЖ44с, МЖ21, МЖ20, МЖД1, МЖД1в, МЖП44, МЖП43d, МЖП43с, МЖП43в, МЖП43а, МЖП43, МЖП42, МЖП41, МПоч21, ММП16.
 17. Мочевыводящая система: ЛМ14, МА1, МА1в, МЭПД1, МЭПД1в, МЭПД1с, МЭПД4, МСПЖ2, МСПЖ4, МСПЖ7, МСПЖ8, МСПЖ13, МЖ44с, МЖ21, МЖ20, МСТД1, МСТД1в, МСТД1с, МЖД1, МЖД1в, МПоч1, МПоч1.1, МПоч1.2, МПоч1.3, МПоч1.4, МПоч1а, МПоч2, МПоч2а, МПоч3, МПоч19, ММП67, ММП66d, ММП66с, ММП66в,

- МП66а, МП66, МП65, МП64, МП63, МП52, МП51, МП35, МП33, МП32, МП27, МП24, ПСМ3.
18. Половые органы: ЛМ14, МА1, МА1в, МЭПД1, МЭПД1в, МЭПД1с, МЭПД4, МЭС4, МЭС1, МЭС1в, МСПЖ2, МСПЖ7, МСПЖ8, МСПЖ11, МСПЖ12, МСПЖ13, МПеч11, МЖ31, МСТД1, МСТД1в, МЖП12, МПоч20, ММП67, ММП66d, ММП66с, ММП66в, ММП66а, ММП66, ММП65, ММП64, ММП63, ММП52, ММП51, ММП50, ММП49, ММП35, ММП34, ММП33, ММП32, ММП27, ММП24.
 19. Органы иммуногенеза: ЛМ1, ЛМ1.2, ЛМ1а, ЛМ9, МТолК17, МТолК18, МА1, МА1.1, МА1а, МА1в, МА2, МА3, МЭПД1.1, МЭС2, МЭС1а, МЭС22, МСПЖ1, МСПЖ1а, МСПЖ2, МСПЖ4, МСПЖ15, МСПЖ21, МЖ44с, МЖ21, МЖ20, МЖ11, МТонК3а.
 20. Антиоксидантная система: МА1в, МА1, МА2, МА3, МПеч1, МПеч1а, МПеч1в, МПеч2, Мпеч2а, МПеч3, МПеч14, МЖ21.
 21. Органы гемопоэза: МЭС1а, МСПЖ1, МСПЖ1а, МСПЖ1в, МСПЖ2, МСПЖ3, МСПЖ4, МСПЖ6, МСПЖ15, МСПЖ21, МПеч5, МЖ44с, МЖ21, МЖ20, МЖП39.
 22. Свертывающая система: МСПЖ3, МСПЖ4, МСПЖ6, МСПЖ21, МПеч1, МПеч1а, МПеч1в, МПеч2, МПеч3, МПеч5, МПеч14, МЖ21, МЖ20, МЖД1, МЖД1в, МПеч7.
 23. Система регуляции обмена веществ: МЭС1, МЭС1.1, МЭС1в, МЭС1с, МЭС2, МЭС3, МЭС16, МЭС20, МТонК15, МСПЖ1, МСПЖ1а, МСПЖ1в, МСПЖ2, МСПЖ3, МСПЖ4, МСПЖ12, МСПЖ13, МСПЖ15, МПеч1а, МПеч2, МПеч2а, МЖ44с, МЖ31, МЖ20, МЖ10, МЖ9, МЖД1, МЖД1в, МЖП43в, МЖП41, МЖП21, МЖП12, МЖП17.
 24. Позвоночный столб: ЛМ10, МЭС1а, МА10d, МЛ9а, МТолК1а, МНД1, МНД1а, МНД1в, МНД2, МНД3, МКО8е, МКО8с, МКО7а, МЭС1а, МС8е, МТонК1а, МТонК6, МСД1в, МСД1, МСД2, МСД3, МЖ44с, МЖ9, МЖП43с, МПоч1.2, МПоч1в, МПоч4, ММП61, ММП29, ММП12, ММП11, МСД1.1, МСД1с.
 25. Ротовая полость, зубы, челюсти, пазухи: ЛМ2, ЛМ3, МТолК19, МТолК20, МА3, МЭПД3, МЭПД25, МЭС23, МЭС1а, МСД3, МЖ8, МЖ7, МЖ6, МЖ3, МЖ2, МСТД1с, МЖП3, ММП2, ПСМ24, ЗСМ25.
 26. Суставы: МТолК5, МТолК11, МТолК15, МКО3, МКО2, МЭС4, МЭС14, МЭС15, МЭС23, МТонК5, МТонК8, МТонК10, МСПЖ5, МПеч4, МПеч8, МСД1, МСД1.1, МСД1в, МСД1с, МСД2, МСД3, МЖ41, МЖ35, МЖ30, МЖ9, МЖ2, МЖП33, МЖП29, МПоч27, ММП62, ММП54, ММП12, ММП11.
 27. Мышцы: МТонК9, МЖП34.
 28. Кожа: МА1, МА1в, МА2, МА3, МК1, МК1.1, МК1.3, МК1а, МК2, МК3.

О Г Л А В Л Е Н И Е

Список сокращений	3
Введение	4
Лимфатический меридиан	12
Меридиан легких	16
Меридиан толстой кишки	20
Меридиан нервной дегенерации	24
Меридиан кровообращения	26
Меридиан аллергии или сосудистой дегенерации	30
Меридиан эпителиальной и паренхиматозной дегенерации ..	32
Меридиан тройного обогревателя — эндокринной системы ..	35
Меридиан сердца	40
Меридиан тонкой кишки	44
Меридиан селезенки — поджелудочной железы	49
Меридиан печени	54
Меридиан суставной дегенерации	58
Меридиан желудка	60
Меридиан соединительно-тканной дегенерации	66
Меридиан кожи	68
Меридиан жировой дегенерации	70
Меридиан желчного пузыря	72
Меридиан почек	78
Меридиан мочевого пузыря	83
Передне-срединный меридиан	89
Задне-срединный меридиан	91
Систематизация точек для ЭАФ по их функциональному значению	93
Литература	96

Редактор **Кодолов В. И.**

Художники **Лобанев Н. П., Уранова М. Л., Казаков Т. В.**

Художественный редактор **Прозоровская А. Г.**

Корректор **Плинер И. И.**

Технический редактор **Лопухова Е. М.**

Тираж 100 000 экз. Цена 5 рублей. Заказ 1742.

Издательство МЦ« Система»

Ордена Ленина типография «Красный пролетарий»,

103473, Москва, И-473, Краснопролетарская, 16.

